ICP – Johannes-Kepler-Straße 7 – D-54634 Bitburg Solargrün GmbH Oi Yun Man Marie-Curie-Ring 15 55291 Saulheim



**Geschäftsführer** Frank Neumann Oliver Semmelsberger

Amtsgericht Kaiserslautern HRB2687

USt-Id-Nr. DE 152749803 USt-Id-Nr. LU 18399128

# **Geotechnischer Bericht**

Projekt-Nr.: SB24043-1

Projekt: PV-Anlage, 54608 Mützenich

Aktualisierte Version vom 28.10.2024

Betreff: Baugrunderkundung mit geotechnischem Bericht, inkl. Kf-Wert Bestimmung

Bearbeiter: Pascal Begon (B.Eng., B.Sc. UGW) /ns

**Datum:** 04.12.2024

**Verteiler:** vorab per E-Mail an <u>oiyun.man@solargruen.de</u>

## Inhaltsverzeichnis

1	vor	gang und Leistungsumrang4				
2	Baugrundbeschreibung					
	2.1	Geologie, Baugrundschichtung und Bodenkenngrößen	8			
		Berechnung der Wärmeleitfähigkeit nach Kersten	13			
		Ingenieurgeologische Baugrundbeurteilung	14			
3	Ver	fahrenstechnik - Rammen	18			
	3.1	Allgemeines	18			
	3.2	Bewertung	20			
	3.3	Ermittlung der erforderlichen Rammtiefen	21			
4	Ver	fahrenstechnik - Schraubfundamente	22			
5	Ana	nalytik2				
6	Erd	Erdbautechnische Hinweise2				
7	Wegebau2					
8	Ver	sickerungseignung der anstehenden Böden	31			
	8.1	Allgemeines	31			
	8.2	Ermittlung des kf-Wertes	33			
9	Erm	nittlung des spezifischen Erdwiderstands mittels	35			
V	/enner-	Methode	35			
10	0 S	chlussbemerkung	39			

### <u>Anlagen:</u>

- 1. Lageplan
- Bohrprofile nach DIN 4023 und Rammdiagramme in Anlehnung an DIN EN ISO 22476-2
- 3. Schichtenverzeichnisse nach DIN 4022
- 4. Korngrößenverteilung nach DIN 18123
- 5. Zustandsgrenzen nach DIN EN ISO 17892-12
- 6. Messung Erdwiderstand
- 7. Analytik:
  - Stahlaggressivität nach DIN 50929
  - Betonaggressivität nach DIN 4030
- 8. Versickerungsversuche nach LANG/HUDER

### <u>Abkürzungen</u>

RB - Kleinrammbohrung (DN80/60)

DPH - Schwere Rammsondierung (dynamic probe heavy)

ES - Erkundungsstelle (Punkt)

m üNN - Meter über Normalnull m uAP - Meter unter Ansatzpunkt m uGOK - Meter unter Geländeoberkante

OK - Oberkante

FP / RP / KD - Festpunkt / Referenzpunkt / Kanaldeckel

### <u>Erläuterungen</u>

Bsp.

[GW] - Bodengruppe GW nach DIN 18196, Klammerung = Auffüllung

3,0 m uGOK - alle im Bericht genannten Tiefen beziehen sich immer, sofern nicht

anders benannt, auf die Geländeoberkante (GOK) zum Zeitpunkt der

Feldarbeiten

### 1 Vorgang und Leistungsumfang

Die ICP Ingenieure GmbH wurde vom AG (solargrün GmbH) mit der Baugrunderkundung und der Erstellung eines geotechnischen Berichts für das obige Bauvorhaben, sowie im September 2024 mit ergänzenden Versickerungsversuchen zur Bestimmung von kf-Werten beauftragt.

### **Vorhaben**

Auf den Flurstücken 26, 65 und 33, Flur 7, Gemarkung Mützenich, südwestlich der Ortslage Mützenich und nordwestlich des Ortsteils Schweiler, ist die Errichtung eines Solarparks (Photovoltaik-Freiflächenanlage) geplant. Die Fläche ist aktuell als landwirtschaftliche Nutzfläche (Grün-/Ackerland) zu klassifizieren und neigt sich großflächig Richtung Südwesten.

### Planunterlagen (AG-seitig)

[1] Luftbild / Geltungsbereich, M. 1:3500, solargrün, 17.11.2022

### Fotos (Feldarbeiten am 10./11.06.2024)









### <u>Feldarbeiten</u>

Zur Erkundung des Untergrundes wurden im Baufeld insgesamt -12- Kleinrammbohrungen RB 1 bis RB 12 (DN 80/60) nach DIN EN ISO 22475-1 bis in Tiefen zwischen 1,2 – 2,0 m abgeteuft.

Zur Beurteilung der Lagerungsdichte bzw. Konsistenz der anstehenden Lockergesteinsböden sowie zur Erkundung der Tiefenlage der nicht mehr rammbaren Übergangszone zum Festgestein kamen **-24-** schwere Rammsondierungen DPH 1 bis DPH 24 nach DIN EN ISO 22476-2 zur Ausführung. Die Sondierungen wurden in Tiefen zwischen 1,2 m und 3,0 m (Zieltiefe 3,0 m) beendet (Stillstand / Abbruch).

#### Erdwiderstand:

Die ICP wurde zudem mit der geoelektrischen Bodenwiderstandsmessung beauftragt. Die Ergebnisse sind als Anlage 6 beigefügt.

Die Ansatzpunkte der Aufschlüsse wurden mittels GNSS-Vermessung nach Lage (UTM-Koordinaten) und Höhe (m üNN) aufgenommen.

### **Bodenmechanisches Labor**

Zur Bodenklassifikation nach DIN 18196 wurden im bodenmechanischen Labor an -1- charakteristischen Bodenprobe die Korngrößenverteilungen mittels Sieb- / Schlämmanalyse nach DIN 18123 bzw. DIN EN 933 und an -2- charakteristischen Bodenproben die Korngrößenverteilungen mittels Siebanalyse bestimmt (Anlage 4).

Zudem wurden an **-2-** charakteristischen Bodenproben die Zustandsgrenzen nach ATTERBERG gemäß DIN EN ISO 17892-12 bestimmt (Anlage 5).

Auf die Bestimmung der Kornform wurde aufgrund der überwiegend aufgeschlossenen feinkörnigen Böden verzichtet.

### Analytik (Anlage 7)

An -1- Mischprobe aus allen Bohrungen wurde die Stahlaggressivität nach DIN 50929, Teil 3, und die Betonaggressivität nach DIN 4030 untersucht.

#### **Bericht**

Die UTM-Koordinaten sowie die Endteufen der niedergebrachten Aufschlüsse (m uAP und m üNHN) sind der Tabelle 1 zu entnehmen. Die Lage der Ansatzpunkte ist dem beigefügten Lageplan zu entnehmen (Anlage 1).

Tabelle 1: Höhen- und Koordinatenangaben

Höhen- und Koordinatenangaben					
Beobachter:		JK			
Koordinatensyst	em:	UTM-Koordinatensystem			
Erkundungs- stellen (ES)	Aufaabluaa	UTM-Koordinaten		Ansatzpunkt (AP)	Endteufe
Punkt	Aufschluss	Rechtswert [m]	Hochwert [m]	[m üNHN]	[m uAP]
1	DPH1 / RB1	5570015.84947	304242.54677	515,09	2,9 / 1,6
2	DPH2	5570093.19219	304126.17336	520,63	2,5
3	DPH3 / RB2	5570151.43416	304023.29402	524,33	2,6 / 1,4
4	DPH4	5570079.82344	303994.88309	513,17	2,3
5	DPH5 / RB3	5570035.58736	304099.50760	511,41	2,6 / 1,2
6	DPH6	5569968.27809	304221.32853	508,59	2,9
7	DPH7	5569978.25062	304116.97336	502,76	3,0
8	DPH8 / RB4	5569981.81728	304028.15591	501,53	2,8 / 1,7
9	DPH9 / RB5	5569925.34220	304127.42760	494,77	2,9 / 1,6
10	DPH10 RB6	5569893.29703	304175.71953	496,02	2,7 / 1,3
11	DPH11 / RB7	5569769.15508	304066.93073	475,45	3,0 / 2,0
12	DPH12	5569824.49277	303913.32067	481,83	2,9
13	DPH13 / RB8	5569880.06827	303886.25111	486,83	2,8 / 1,6
14	DPH14 / RB9	5569876.36442	304013.22325	485,00	2,6 / 1,4
15	DPH15	5569869.41801	304077.40006	484,61	3,0
16	DPH16	5569932.77537	304032.80685	491,90	2,9
17	DPH17	5569704.20450	304080.31125	468,80	2,9
18	DPH18	5569652.27177	304150.97505	472,41	2,9
19	DPH19 / RB10	5569619.01677	304234.14685	489,37	2,9 / 1,4
20	DPH20	5569737.96388	304192.61221	486,01	2,9
21	DPH21 / RB11	5569775.49691	304138.83220	479,95	2,8 / 1,5
22	DPH22	5569849.36947	304223.70629	492,48	2,3
23	DPH23	5569666.02652	304304.31335	496,49	2,5
24	DPH24 / RB12	5569750.80624	304372.13274	504,51	2,9 / 1,7
E1		5569878.23882	304081.13997	485,76	
E2		5570063.67706	304139.88185	517,52	
	LH1	5569696.79487	304104.56417	471.01	
Versickerung	LH2	5569773.82955	304036.68637	474.61	
Versionerung	LH3	5569820.27982	303980.50174	474.12	
	LH4	5569811.77947	303957.87314	474.55	

Die Aufschlussergebnisse wurden in Schlagzahldiagrammen für Rammsondierungen in Anlehnung an DIN EN ISO 22476-2 und Bohrprofilen nach DIN 4023 (Anlage 2) sowie in Schichtenverzeichnissen nach DIN 4022 (Anlage 3) dargestellt.



Für die erbohrten Bodenschichten wurden die charakteristischen Bodenkenngrößen nach DIN 1055, die Bodengruppen nach DIN 18196, die Bodenklassen nach DIN 18300: 2012-09 und die Frostempfindlichkeitsklassen nach ZTV E-StB 17 ermittelt. Weiterhin wurden Homogenbereiche nach DIN 18300:2019-09 gebildet.

Der vorliegende geotechnische Bericht fasst die Ergebnisse der voran genannten Untersuchungen zusammen und gibt Hinweise und Empfehlungen zur Bauausführung.



#### 2 Baugrundbeschreibung

#### 2.1 Geologie, Baugrundschichtung und Bodenkenngrößen

Gemäß der Geologischen Übersichtskarte von Rheinland-Pfalz, CC 6302 Trier, M. 1: 300.000 (herausgegeben von der Bundesanstalt für Geowissenschaften und Rohstoffe in Zusammenarbeit mit den Geologischen Landesämtern der Bundesrepublik Deutschland; 1987) liegt das Untersuchungsgebiet wie folgt:

Geologische Einheit: dzG

Stratigraphie:

Devon, Unterdevon,

Unterems in grauer klastischer Fazies

(Ulmen- bis Vallendar-Unterstufe, ohne Klerf-Schichten)

Petrographie:

Wechsellagerung aus Ton-, Silt- und Sandstein

### Abfrage Bodenkarte BFD50 (Landesamt für Geologie und Bergbau, Rheinland-Pfalz):

Böden aus solifluidalen Sedimenten – Regosol aus flachem lössarmem Gruslehm (Hauptlage) über Lehmgrus (Basislage) über Schutt aus Schiefer oder Sandstein (Devon).

### In situ aufgeschlossene Baugrundschichtung

Unter Berücksichtigung der geschilderten regionalgeologischen Situation sowie auf Grundlage der Aufschlussergebnisse lassen sich die angetroffenen Baugrundverhältnisse in nachfolgende Schichtglieder (SG) unterteilen:

### SG 0 - Oberboden

Der Oberboden ist durchwurzelt und wurde in einer Mächtigkeit von ca. 0,2 m aufgeschlossen, wobei die Dicke der Oberbodenschicht im Baufeld darüber hinaus variieren kann.

### SG I - Bindige Böden

Unterhalb des Oberbodens wurden maßgeblich bindige Böden aus sandigen, tonigen, kiesigen Schluffen in meist steifer, steif-halbfester und zur Tiefe auch halbfester-fester Konsistenz von leichter und mittlerer Plastizität mit graubrauner/brauner Färbung aufgeschlossen. In diesen Böden endeten die Bohrungen durch zu hohen Reibungswiderstand.

### SG II – Nichtbindige Böden - Grus

Unterhalb sind erfahrungsgemäß mit steigendem Skelettanteil schwach schluffige, sandige Kiese (Verwitterungsgrus) von brauner Färbung in dichter Lagerung zu erwarten, welche als Nichtbindige Böden bezeichnet werden. Mit der Tiefe nimmt der Grusanteil und erfahrungsgemäß die Korngröße des stark verwitterten Ausgangsgesteins (Wechsellagerung aus Ton-, Silt- und Sandstein) sukzessive zu.

### SG III - Übergangszone zum Festgestein bzw. das Festgestein

Die Übergangszone zum Festgestein bzw. das Festgestein im Liegenden wurde mit den durchgeführten Kleinrammbohrungen verfahrensbedingt nicht direkt aufgeschlossen und kann somit bei derzeitigem Kenntnisstand nicht weitergehend nach DIN 18300 klassifiziert werden. Zunächst ist jedoch davon auszugehen, dass die Übergangszone im Bereich von Sondierstillständen vor Erreichen der Zieltiefe von 3 m ab Tiefen von etwa >2,5 m (bspw. ES23) beginnt (siehe Kapitel 2/3). Überwiegend ist jedoch bis 3 m nicht von massivem Festgestein auszugehen.

Die charakteristischen Kenngrößen für Baumaßnahmen der Geotechnischen Kategorie GK 1 der anstehenden Schichtglieder sind in der nachfolgenden Tabelle 2 zusammengestellt.

Tabelle 2: Kenngrößen und Bodenparameter

Tabolic 2. Normgrosson and Bod	SG I Bindige Böden Lehme	SG II Nichtbindige Böden Grus	SG III Übergangszone/ Festgestein**** <sup>)</sup>
Bodengruppe (DIN 18196)	TL, TM, GU*, SU*	GU	
Boden-/Felsklasse (DIN 18300:2012-09)	4, 2+, 6++	3	6, 7
Homogenbereich***) (DIN 18300:2019-09)	B1	B2	X1, X2
Lagerungsdichte		mitteldicht – sehr dicht	
Konsistenz	weich – halbfest, fest		
Plastizität	leicht, mittel		
Wichte (DIN 1055) erdfeucht $\gamma_k$ [kN/m³] unter Auftrieb $\gamma'_k$ [kN/m³]	19,5 – 20,5 9,5 – 10,5	20,0 - 22,0 10,0 - 12,0	22,0 - 24,0 12,0 - 14,0
Scherfestigkeit Reibungswinkel cal φ' [Grad] (DIN 1055)	22,5 – 27,5	32,5 – 35,0	35,0 – 37,5 Kluftreibungswinkel
Scherfestigkeit Kohäsion (DIN 1055) c <sub>u,k</sub> [kN/m²] c' <sub>k</sub> [kN/m²]	20 - 60 2 - 10		 
Steifemodul E <sub>s,k</sub> [MN/m <sup>2</sup> ]	10 - 50	40 - 80	>100
Frostempfindlichkeitsklasse (ZTV E-StB 17)	F3	F2	
Durchlässigkeitsbeiwert cal k <sub>f</sub> [m/s] (Literaturangaben)	10 <sup>-6</sup> bis 10 <sup>-10</sup>	10 <sup>-6</sup> bis 10 <sup>-8</sup>	Kluftabhängig
Bemessungswert des Sohlwiderstands für Streifenfundamente $\sigma_{R,d}$ [kN/m²] (DIN 1054:2010-12)	2001)	3802)	500-700
Schätzwerte Massenanteil (M%) Steine Blöcke große Blöcke	0 - 30 0 0	0 – 30 0 – 30 	

- +) Fein- und gemischtkörnige Böden verändern ihre Konsistenz bereits bei geringer Veränderung des Wassergehaltes.
  - Wasserentzug lässt sie rasch austrocknen und schrumpfen, Wasserzufuhr und dynamische Belastung lässt sie in die Bodenklasse 2 übergehen.
- ++) ab fester Konsistenz
- +++) Die Einteilung der Böden in Homogenbereiche erfolgte entsprechend ihrem Zustand vor dem Lösen und nicht gemäß der durchgeführten LAGA-Analytik. Die für Baumaßnahmen der Geotechnischen Kategorie GK 1 nach DIN 4020 anzugebenden Eigenschaften und Kennwerte sowie deren Bandbreite (sofern eine Ermittlung der Bandbreite möglich war) sind in obiger Tabelle enthalten.
- ++++) Auf Grundlage der regionalgeologischen Situation angenommene Werte
- Dieser Wert gilt nur für Streifenfundamente mit b bzw. b' = 0,5 m und kleinster Fundamenteinbindetiefe von 1,0 m, bei Einhaltung sämtlicher Anwendungsvoraussetzungen der DIN 1054:2010-12, die vor Anwendung der Tabellenwerte zu prüfen sind. Insbesondere wird auf die erforderliche ausreichende Festigkeit des Baugrunds hingewiesen. Für andere Einbindetiefen gelten analog die Werte nach DIN 1054:2010-12, Tab. A 6.1. Unter bestimmten Voraussetzungen sind die Tabellenwerte abzumindern oder können erhöht werden (s. Angaben der DIN 1054:2010-12). Bei Anwendung der Werte nach Tabelle A 6.1 ist bei Fundamentbreiten bis 1,5 m mit Setzungen von etwa 2 cm, bei breiteren Fundamenten mit ungefähr proportional zur Fundamentbreite stärkeren Setzungen zu rechnen. Bei wesentlicher Beeinflussung benachbarter Fundamente können auch größere Setzungen auftreten.
- Dieser Wert gilt nur für Streifenfundamente mit b bzw. b' = 0,5 bis 2,0 m und kleinster Fundamenteinbindetiefe von 1,0 m bei Einhaltung sämtlicher Anwendungsvoraussetzungen der DIN 1054:2010-12, die vor Anwendung der Tabellenwerte zu prüfen sind. Insbesondere wird auf die erforderliche ausreichende Festigkeit des Baugrunds hingewiesen. Der angegebene Tabellenwert gilt für eine mindestens steife Konsistenz. Für andere Einbindetiefen und höhere Festigkeit des Baugrunds (halbfeste oder feste Konsistenz) gelten analog die Werte nach DIN 1054:2010-12, Tab. A. 6.6. Unter bestimmten Voraussetzungen sind die Tabellenwerte abzumindern oder können erhöht werden (s. Angaben der DIN 1054:2010-12).
  - Die Anwendung der in DIN 1054:2010-12, Tab. A. 6.6 genannten Werte kann bei mittig belasteten Fundamenten je nach Fundamentbreite zu **Setzungen in der Größenordnung s** ≈ **2 bis 4 cm** führen. Bei wesentlicher Beeinflussung benachbarter Fundamente können auch größere Setzungen auftreten.

### Erläuterungen zu Bodenkennwerten

#### Frostempfindlichkeitsklassen

Die Frostempfindlichkeitsklassen (FE-Klassen) sind eine Einteilung, die die Empfindlichkeit von Böden gegenüber Frost verdeutlicht. Sie gibt an, wie stark ein Boden bei Frost-Tau-Wechseln zur Volumenzunahme und damit zur Bildung von Frostschäden neigt. Die Klassifizierung erfolgt typischerweise nach dem Anteil der Feinpartikel und der Wasserdurchlässigkeit des Bodens.

**FE-Klasse F1:** Frostunempfindlich. Diese Böden enthalten kaum feine Partikel und sind stark wasserdurchlässig, beispielsweise grobkörnige Sande und Kiese.

**FE-Klasse F2:** Gering frostempfindlich. Diese Böden weisen geringe Mengen an Feinanteilen auf und sind mäßig wasserdurchlässig, wie beispielsweise Sand-Kies-Gemische mit etwas Lehm.

**FE-Klasse F3:** Frostempfindlich. Enthalten deutlich mehr Feinanteile und nehmen daher Wasser gut auf. Böden wie lehmige Sande gehören zu dieser Klasse.

→ die vorhandenen Böden des SGI (aufliegende Lehme) sind damit frostempfindlich, zur Tiefe sinkt der Feinkornanteil und auch die Frostempfindlichkeit nimmt ab.

#### Reibungswinkel

Der Reibungswinkel, oft auch als innerer Reibungswinkel bezeichnet, beschreibt den Winkel, unter dem Bodenpartikel aneinander vorbeigleiten können, bevor sie zu rutschen beginnen. Ein hoher Reibungswinkel, wie er bei kiesigen oder sandigen Böden vorliegt, zeigt eine gute Scherfestigkeit, also Stabilität gegen Scherbeanspruchungen an.

Tonige Böden haben hingegen einen niedrigeren Reibungswinkel und sind dadurch weniger stabil, was besonders bei Böschungen oder Baugruben relevant ist.

### Kohäsion (undrainiert und drainiert)

Die Kohäsion beschreibt die innere Bindungskräfte im Boden. Sie tritt besonders in fein- und tonhaltigen Böden auf und wirkt zusätzlich zum Reibungswiderstand stabilisierend. Man unterscheidet zwischen drainierter und undrainierter Kohäsion:

**Undrainierte Kohäsion (kurzfristig):** Wird bestimmt, wenn der Boden gesättigt und keine Wasserabgabe an die Umgebung möglich ist. Dies tritt bei plötzlicher Belastung auf, wie zum Beispiel beim Aushub von Baugruben, wenn das Wasser keine Zeit hat, sich zu verteilen.

**Drainierte Kohäsion (langfristig):** Beschreibt die Bodenfestigkeit unter Berücksichtigung der Wasserabgabe über einen längeren Zeitraum, was zu einer stabileren Lastverteilung führt. Dieser Wert ist wichtig für die langfristige Standsicherheit von Bauwerken.

#### Wichte

Die Wichte beschreibt das Gewicht eines Bodens pro Volumeneinheit und ist essenziell für die Berechnung von Erdlasten auf Bauwerken. Sie wird in kN/m³ angegeben und unterscheidet sich, je nachdem, ob der Boden trocken oder gesättigt ist. Eine hohe Wichte (wie bei dichten, tonigen Böden) bedeutet höhere Auflasten auf Bauwerke und eine potenziell höhere Tragfähigkeit des Bodens.

### Plastizität

Die Plastizität beschreibt die Verformbarkeit von Böden bei Feuchtigkeitsänderungen und ist ein Maß für die Konsistenz und Formbarkeit toniger Böden. Sie wird durch die Atterberg-Grenzen (Flüssigkeits- und Plastizitätsgrenzen) bestimmt:

Flüssigkeitsgrenze: Der Wassergehalt, ab dem der Boden flüssig wird.

**Plastizitätsgrenze**: Der Wassergehalt, ab dem der Boden von einem festen in einen plastischen Zustand übergeht.

Plastische Böden wie Ton können sich unter Feuchtigkeitsveränderungen deutlich verformen, was für die Setzungsprognose von Bauwerken eine Rolle spielt.



Tabelle 3: Allgemeine Zusammenfassung der Kennwerte der zugrunde gelegten Homogenbereiche

Homogenbereich	Kennwerte		
	Bindige Böden der Bodengruppen TL, TM, UM, UL, SU*, GU*		
	leichte/mittlere Plastizität		
	weiche bis halbfeste Konsistenz		
	Feinkornanteil: 20 - 50 M.%		
	Sandkornanteil: 15 – 35 M.%		
	Kieskornanteil: 20 - 50 M%		
	Ctainantail 0.400/		
B1	Steinanteil 0-10%		
	Blöcke 0 – 5%		
	Große Blöcke 0%		
	Wassergehalt: 10 – 25 M%		
	EBV Materialklasse / LAGA Zuordnungsklasse / Deponieklasse: nicht untersucht		
	Betonaggressivität: nicht angreifend		
	Stahlaggressivität: schwach aggressiv		
	Dodonklassa 4		
	Bodenklasse 4  Grus - Nichtbindige Böden		
	der Bodengruppen GW, GU		
	3. app		
	lockere – sehr dichte Lagerung		
	Schätzwerte		
	Feinkornanteil: 0 - 15 M.%		
	Sandkornanteil: 15 – 35 M.%		
	Kieskornanteil: 40 - 80 M%		
B2	Steinanteil 0-10%		
	Blöcke 0 – 5%		
	Große Blöcke 0%		
	Wassergehalt: 3 – 10 M%		
	EBV Materialklasse / LAGA Zuordnungsklasse / Deponieklasse: nicht untersucht		
	Betonaggressivität: nicht angreifend		
	Stahlaggressivität: schwach aggressiv		
	Bodenklasse 3		
	Verwitterungslehme Feste Konsistenz		
	reste Kollsisteliz		
X1*	Übergangszone / Wechsellagerung aus Ton-, Silt- und Sandstein (entfestigt)		
<b>^1</b>	Fels mit sehr kleinen bis mittleren (≙ Würfel < 46 cm bzw. Kugel < 60 cm)		
	Abmessungen der Gesteinskörper, vollständig bis mäßig verwittert,		
	Trennflächenabstand <10 cm		
	Bodenklasse 6		
	Fels mit mittleren (≙ Würfel < 46 cm bzw. Kugel < 60 cm) bis		
	sehr großen Abmessungen der Gesteinskörper,		
X2*	schwach verwittert bis frisch		
	Trennflächenabstand >10 cm		
	Bodenklasse 7		
	Dodomidooo 1		

Schätzwerte (kursiv) / \*Nicht aufgeschlossen

ICP, Büro Eifel
Johannes-Kepler-Straße 7
54634 Bitburg
Telefon 06561-18824
E-Mail bitburg@icp-geologen.de

ICP, Zentrale
Am Tränkwald 27
67688 Rodenbach
Telefon 06374-80507-0
E-Mail info@icp-geologen.de

ICP, Büro Südpfalz Lindelbrunnstraße 6 76887 Bad Bergzabern Telefon 06343-9539022 E-Mail info@suew-geologen.de

### 2.2 Berechnung der Wärmeleitfähigkeit nach Kersten

Die Formel von Kersten zur Abschätzung der Wärmeleitfähigkeit ( $\lambda$ ) von Böden ist wie folgt:  $\lambda = k1 + k2 \cdot \theta$ 

#### Dabei sind:

- λ: Wärmeleitfähigkeit des Bodens
- k1 und k2: empirische Konstanten, die vom Bodentyp abhängen
- θ: volumetrischer Wassergehalt des Bodens

### Festlegung der Konstanten k1 und k2

Für leicht plastische, kiesige, sandige Schluffböden (Bodengruppe TL) wird angenommen: k1=0,5 W/mK (Annahme basierend auf typischen Werten für schluffige Böden) k2=2,5 W/mK (Annahme basierend auf typischen Werten für sandige Schluffböden)

### Bestimmung des volumetrischen Wassergehalts $\theta$

Der volumetrische Wassergehalt  $\theta$  ist definiert als:  $\theta = \frac{W}{100} \cdot \frac{\rho_{\text{bulk}}}{\rho_{\text{water}}}$ 

#### Dabei ist:

- W: Wassergehalt in Masseprozent (M.-%)
- ρ<sub>bulk</sub>: Dichte des Bodenmaterials
  - o (typisch etwa 1.6 g/cm³ für kiesige, sandige Schluffböden)
- ρ<sub>water</sub>: Dichte von Wasser (1.0 g/cm³)
- → Bandbreite der Wassergehalte in den Laborversuchen ca. 11 18 M.-%.

Für 
$$W=11\%$$
:

$$heta_{11} = rac{11}{100} \cdot rac{1.6 \, \mathrm{g/cm}^3}{1.0 \, \mathrm{g/cm}^3} = 0.176$$

Für 
$$W=18\%$$
:

$$heta_{18} = rac{18}{100} \cdot rac{1.6 \, \mathrm{g/cm^3}}{1.0 \, \mathrm{g/cm^3}} = 0.288$$

### Berechnung der Wärmeleitfähigkeit nach Kersten:

Für 
$$\theta_{11} = 0.176$$
:

$$\lambda_{11} = 0.5\,\mathrm{W/mK} + 2.5\cdot0.176 = 0.5 + 0.44 = 0.94\,\mathrm{W/mK}$$

Für 
$$\theta_{18}=0.288$$
:

$$\lambda_{18} = 0.5 \,\mathrm{W/mK} + 2.5 \cdot 0.288 = 0.5 + 0.72 = 1.22 \,\mathrm{W/mK}$$

Die **Wärmeleitfähigkeit (λ)** der anstehenden Böden wird bei Wassergehalten von 11 - 18 M.-% im Bereich von **0,94 W / mK** bis **1,22 W / mK** abgeschätzt.

Hinweis: um genauere Angaben zu erhalten, sind Feldversuche zu nennen wie bspw:

- Nadelsonde (Transient Line Source Methode)
- Platten-Methode
- Guarded Hot Plate (GHP)
- Thermal Response Test (TRT)
- Thermal Conductivity Probe (TC Probe)

### 2.3 Ingenieurgeologische Baugrundbeurteilung

#### Allgemeines

Ab durchgehend mindestens steifer Konsistenz stellen bindige Böden allgemein einen mäßig tragfähigen, zu Setzungen neigenden Baugrund dar. Bindige Böden von weicher bzw. breiger Konsistenz sind aufgrund ihrer ausgeprägten Setzungswilligkeit hingegen kaum belastbar und als ungeeignet für Gründungszwecke zu beurteilen. Bindige Böden von weicher bis halbfester Konsistenz sind der Bodenklasse 4, bei breiig-weicher Konsistenz der Bodenklasse 2 und bei fester Konsistenz der Bodenklasse 6 nach DIN 18300: 2012-09 zugehörig.

Bindige Böden sind als stark wasserempfindlich einzustufen, d. h., sie weichen bei Wasserzutritten bzw. Durchfeuchtung (z. B. durch Durchwalkungen während des Baubetriebes) rasch auf und verlieren so ihre in ungestörtem Zustand ab mindestens steifer Konsistenz befriedigenden bodenmechanischen Eigenschaften.

Nichtbindige Böden (Unterhalb der Lehme als Grus zu erwarten, nicht aufgeschlossen) stellen ab mindestens mitteldichter Lagerung einen gut tragfähigen, unter statischer Belastung im Allgemeinen nur zu geringen Setzungen neigenden Baugrund dar. Sie sind in die Bodenklasse 3 einzuordnen.



### Bereich geplante Freiflächenanlage

Unterhalb des Oberbodens sind hauptsächlich bindige Böden (Lehme) des SG I anzutreffen, die partiell in Verwitterungsgrus (nichtbindige Böden) des anstehenden Ton-, Silt- und Sandsteins von mitteldichter bis sehr dichter Lagerung übergehen. Unterhalb steht die Übergangszone bzw. das Festgestein an, welches vereinzelt bereits nach 1,7 - 2,5 m auftritt.

Die Lehme weisen eine meist oberflächig steife Konsistenz im oberen Meter auf. Unterhalb nimmt die Festigkeit zu, wobei die Konsistenzen bis zur Zieltiefe von 3,0 m, sofern diese erreicht wurde, zwischen steif-halbfest bis halbfest-fest liegen werden. Sie gehören weitestgehend den Bodengruppen TL, TM, SU\* und GU\* nach DIN 18196 bzw. der Bodenklasse 4 an. Böden von fester Konsistenz sind der Bodenklasse 6 zuzuordnen, sind jedoch nicht aufgeschlossen worden, aber in der Tiefe, teils ab 2 m, anzunehmen.

Partiell steht die Übergangszone bereits nach ca. 1,7 m an, wo die Böden eine feste Konsistenz oder dichte bis sehr dichte Lagerung annehmen können. Aufgrund der geringen Anzahl an Bohrungen, kann die tatsächliche Schichtenfolge und Zusammensetzung nur geschätzt werden. Grundsätzlich sollte aber überall, wo in Anlage 2 Schlagzahlen >30 dargestellt sind mit felsigem Boden oder Fels (Bk6 / Bk7) gerechnet werden, wodurch ein Einrammen von Stahlträgern erschwert wird bzw. Sondermaßnahmen erfordert.

Als Hilfskriterium zur Beurteilung einer durchgängig ausreichenden Festigkeit des Baugrunds wurde der Sondierwiderstand N<sub>10</sub> (Schlagzahlen pro 10 cm Eindringtiefe) mit der schweren Rammsonde bestimmt. Hierbei sind bodenspezifisch in Anlehnung an PLACZEK (1985) und durch Korrelation zwischen Bohrung und schweren Rammsondierungen erfahrungsgemäß folgende Schlagzahlen zu erreichen (aufgrund der teils erhöhten Plastizität können die Werte jedoch auch von den genannten abweichen, da die Mantelreibung dann abnimmt):

Schwere Rammsonde: mitteldichte Lagerung Schlagzahlen  $N_{10} \ge 4 \pm 1$ 

steife Konsistenz Schlagzahlen  $N_{10} \ge 5 \pm 1$ 

dichte Lagerung Schlagzahlen  $N_{10} \ge 13 \pm 1$ halbfeste Konsistenz Schlagzahlen  $N_{10} \ge 9 \pm 1$ 

### <u>Fazit</u>

Ein erhöhter Widerstand beim Einbringen der Stützen ist, unabhängig vom Verfahren, nach den vorliegenden Erkenntnissen partiell ab 1,7 m bis 2,5 m uGOK zu erwarten. Ansonsten sind die Bedingungen mind. bis ca. 1,0 m uGOK als günstig, darunter bei meist steifer Konsistenz als meist moderat bis schwierig (halbfeste-feste Konsistenz bzw. Übergangszone) zu beurteilen.

Vereinfacht kann sich in Anlage 2 nach der Einfärbung der Sondierungen orientiert werden Grüne Farbe bedeutet hohe Schlagzahlen = hoher Widerstand.

### Nachfolgend sind AG-spezifische Geländebeschreibungen aufgeführt.

### Zieltiefe (3 m) wurde nicht erreicht bei:

Tabelle 4: Rammhindernisse / höhere Rammwiderstände

Ansatzpunkt	Erhöhter Widerstand nach [m]	Stillstand nach [m]
DPH2	2,1	2,5
DPH3	2,3	2,6
DPH4	1,8	2,3
DPH5	2,1	2,6
DPH6	2,4	
DPH7	2,8	
DPH8	2,0	2,8
DPH9	2,3	2,9
DPH10	2,2	2,7
DPH13	2,2	2,8
DPH14	2,0	2,6
DPH21	2,4	2,8
DPH22	2,3	2,3
DPH23	2,4	2,5
DPH24	2,6	

Eine Angabe von Wahrscheinlichkeiten eines Rammhindernisses in % ist schwierig und auf Grundlage dieser Aufschlüsse anteilig der Fläche auf etwa 15 % – 30% zu schätzen. Für eine genauere Aussage müssten weitere Erkundungen erfolgen.

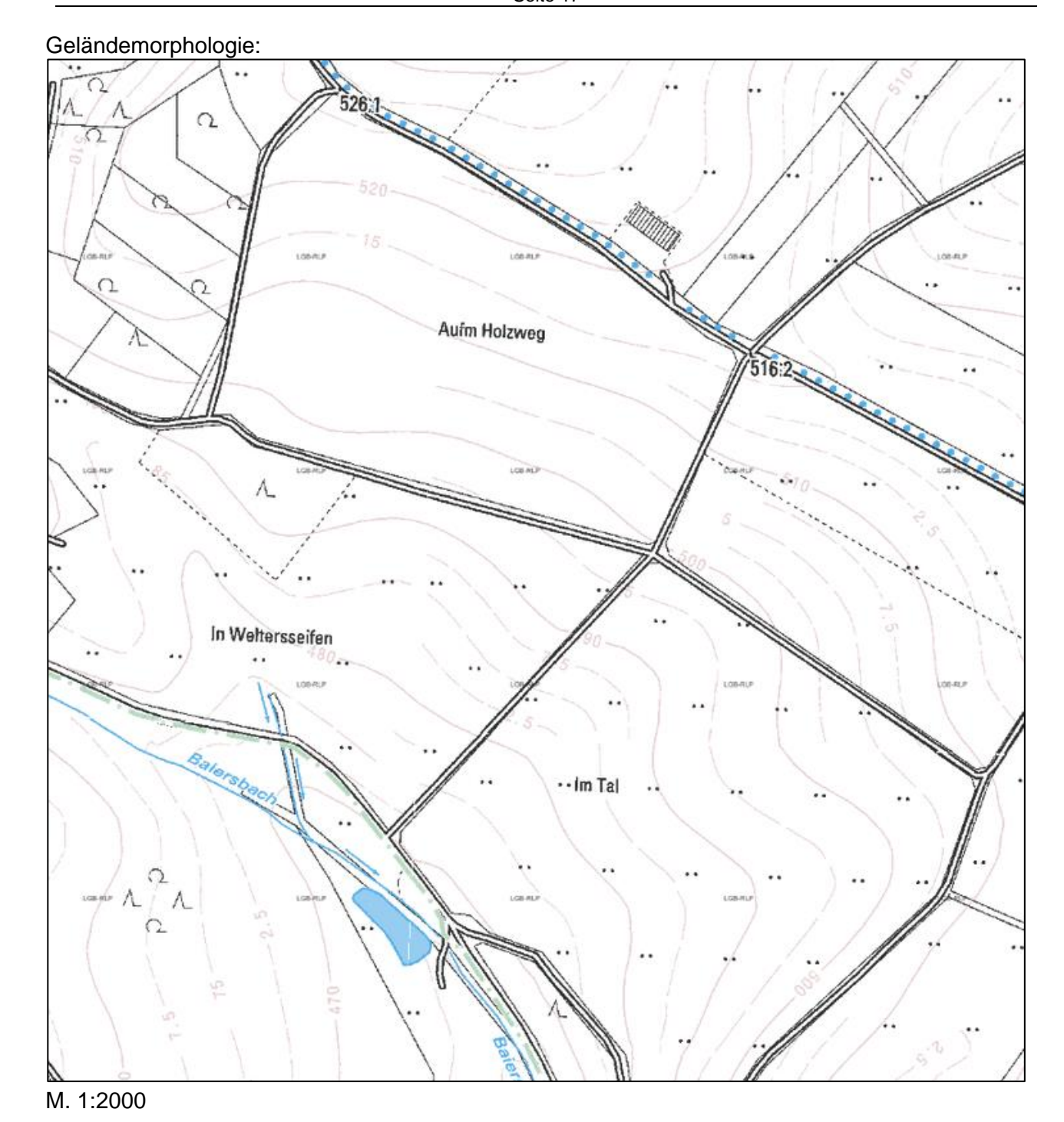
### Geländemorphologie:

Gemäß nachfolgendem Kartenausschnitt verläuft das Gelände in NordOst-SüdWest-Achse von ca. 525 m üNN im Norden nach ca. 477,5 m üNN im Süden. Die Neigung ist relativ gleichbleibend mit einer maximalen Hangneigung von ca.  $5^{\circ} - 8^{\circ} = \text{ca.} 10 - 15\%$  abzuschätzen. Rampen oder Böschungen sind nicht bekannt, jedoch wie kleinere Senken auch nicht auszuschließen. Hierzu wäre eine separate detaillierte Geländeaufnahme zu beauftragen.

Die Fläche konnte vollständig untersucht werden – es gab keine größeren Bereiche, die unzugänglich waren.

Das Gelände wird derzeit als Grünland genutzt.

Durch flächendeckende Krautschichten (Gras oder ähnliches) kann Erosion minimiert werden speziell im Bereich mit evtl. Ackernutzung vorzusehen.



Johannes-Kepler-Straße 7 54634 Bitburg Telefon 06561-18824 E-Mail bitburg@icp-geologen.de



#### 3 Verfahrenstechnik - Rammen

#### **Allgemeines** 3.1

### **Einbauverfahren**

### **Schlagrammen**

Das Rammgut wird mit sich wiederholenden Schlägen eines Schlagbären in den Boden getrieben. Die Schlagenergie wird durch ein auf das Rammgut herabfallendes Gewicht erzeugt. Die auf das Rammgut einwirkende kinetische Energie bestimmt sich aus der Masse des Schlagbären und der erzielten Geschwindigkeit desselben. Das Anheben des Fallgewichtes erfolgt durch Muskelkraft, Hydraulikflüssigkeit, Druckluft oder Explosionsgase als Energieträger. Das Fallgewicht wird angehoben und auf das Rammgut fallen gelassen.

- Freifall- und Explosionsbären: Eignen sich für alle Bodenarten
- Nachteile: Rammerschütterungen, hohe Schallemission, evtl. Abgase, Beachtung des Verhältnisses Gewicht Rammbär zu Rammgut
- Schnellschlaghämmer (Hydraulik- oder Drucklufthämmer; Schlagzahl 100-600 Schläge/min) halten Rammgut in ständiger Bewegung und arbeiten dadurch wesentlich schonender

#### **Vibrationsramme**

Es gibt hochfrequent und niederfrequent arbeitende Rammen, eine typische Frequenz ist 25 Hertz. Da Vibrationsrammen das Rammgut klemmen können, sind sie prinzipiell auch geeignet, Rammgut (Spundwände, Stahlträger) zu ziehen. Boden, besonders schotteriger, wird durch bestimmte Schwingungsfrequenzen "verflüssigt", sodass die Spundwand unter der Gewichtskraft von Eigenmasse und angeklemmtem Vibratorkopf wie von selbst tiefer sinkt. Um dieses Einrammen zu erleichtern, Präzision und erreichbare Tiefe zu erhöhen, wird bis zu einer Teiltiefe vorgebohrt (auch wenn das Loch wieder zufällt, hat es doch eine geringere Dichte und Festigkeit).

- weniger Schallemission, da Stahl auf Stahl Schlagen vermieden wird
- besonders geeignet für Sande und Kiese mit runder Kornform, leicht bindige Böden, breiig weiche Böden mit geringer Plastizität, Mischböden und bindige Böden bei hohem Wassergehalt; weniger geeignet bei kantiger Kornform, trockenen stark bindigen Böden

### Einpressen

Fast lautlos und erschütterungsfreies Verfahren – in Wohngebieten, an Böschungen, Leitungsgräben, nahe Verkehrsbauten

- gute geeignet ist leicht bindiger Boden, wie z.B. sandiger Lehm, bei ausreichender Feuchtigkeit; schlecht geeignet sind sehr dicht gelagert Sande und Kiese sowie sehr harte und steife Tone
- ggf. Vorbohren oder Spülen

### **Einbringhilfen**

Einbringhilfen sind Verfahren, die zur Unterstützung der Einbringverfahren mit hinzugezogen werden. Das gilt für das Einbringen von Stahlspundbohlen genauso wie für anderes Einbringgut. Sobald die Vibrations- oder Presstechnik nicht mehr ausreicht, um die Einbringwiderstände zu überwinden, werden diese Verfahren herangezogen, ansonsten wäre ein Einbringen nicht mehr möglich. Die Anwendung einer Einbringhilfe führt zudem zu einer Erleichterung des Einbringvorgangs und bringt eine Verkürzung der Einbringzeit mit sich. Ein weiterer Vorteil von Einbringhilfen ist, dass aufgrund der Erleichterung beim Einbau und dem schnelleren Baufortschritt die Lärm- und Erschütterungsbelastungen reduziert werden.

Die Einbringhilfen unterscheiden sich in:

- Vorbohren des Baugrunds,
- Einspülen und
- Lockerungssprengungen.

### Beurteilung des Baugrunds für das Einbringen von Rammgut

Leichte Rammung

Weiche, breiige Böden - z.B. Moor; Torf, Schlock, Klei -, locker gelagerte Mittel- und Grobsande, runde Kornformen, Kiese ohne Steineinschlüsse

### Mittelschwere Rammung

Mitteldicht gelagerte Mittel- und Grobsande, Feinkies, kantige Kornform, feinkiesige Böden, steifer Ton, Schluff und Lehm

### Schwere bis schwerste Rammung

Dicht gelagerte feinsandige und schluffige Böden, dicht gelagerte Fein-, Mittel- und Grobkiese, kantige Kornform, halbfester bis fester Schluff, Lehm, Ton, verkittete Geröll- und Moräneschichten, ausgetrocknete bindige Böden, leichter Fels

### 3.2 Bewertung

Im Regelfall werden die Photovoltaikanlagen mittels gerammter Sigma-Pfosten gegründet.

Angaben bezüglich der geplanten Pfostenabstände sowie Lastangaben (maximale Schnee- und Windbelastungen) lagen nicht vor.

Die Lasten werden über die Mantelreibung in den Baugrund eingeleitet.

Die Festlegung der ansetzbaren Mantelreibung  $\tau_{mf}$  erfolgt nach Grundbau Taschenbuch III, vierte Auflage, Tab. 2a in Abhängigkeit von der Konsistenz der anstehenden bindigen Böden. Zur Beurteilung der Konsistenz der anstehenden Böden wurde der Sondierwiderstand  $N_{10}$  (Schlagzahlen pro 10 cm Eindringtiefe) mit der schweren Rammsonde bestimmt. Hierbei sind erfahrungsgemäß folgende Schlagzahlen zu erreichen:

weiche Konsistenz: Schlagzahl  $N_{10} \ge 2 \rightarrow \tau_{mf} = 5 \text{ kN/m}^2$  steife Konsistenz: Schlagzahl  $N_{10} \ge 4 \rightarrow \tau_{mf} = 20 \text{ kN/m}^2$  halbfeste Konsistenz: Schlagzahl  $N_{10} \ge 10 \rightarrow \tau_{mf} = 40 \text{ kN/m}^2$ 

### **Fazit**

Im gesamten Projektgebiet stehen bindige Böden an, die mit der Tiefe eine zunehmende Festigkeit aufweisen. Dabei nimmt die Festigkeit teils nur langsam sukzessive zu bis 3,0 m und teils rasch innerhalb weniger Dezimeter. Die Schlagzahlen der Rammsondierungen lassen grob eine annähernde Einteilung des Untersuchungsbereichs zu, die sich jedoch vereinzelt nicht pauschal anwenden lässt (dazu ist im Detail Anlage 2 heranzuziehen):

### 0.0 m - 1.0 m uGOK

→ Leichte - Mittelschwere Rammung

Mantelreibung von  $\tau_{mf} = 0 \text{ kN/m}^2 \text{ bis } \tau_{mf} = 5 \text{ kN/m}^2$ 

### 1,0 m - 1,5 m uGOK

→ Mittelschwere Rammung

Mantelreibung von  $\tau_{mf} = 20 \text{ kN/m}^2 \text{ bis } \tau_{mf} = 40 \text{ kN/m}^2$ 

### 1,5 m - 3,0 m uGOK

→ Schwere bis partiell schwerste Rammung (teils Einrammen in Übergangszone)

ansetzbare Mantelreibung von mind.  $\tau_{mf} = 40 \text{ kN/m}^2 - \text{evtl. } 80 \text{ kN/m}^2$ 

Je nach vorangegangener Witterung können die Böden auch mit steigendem Wassergehalt aufweichen und dann wesentlich leichter zu bearbeiten sein. Steine oder Blöcke sind aufgrund der Aufschlüsse zunächst nicht zu vermuten, aber in tieferliegenden Schichten im Bereich der Übergangszone auch nicht auszuschließen.



Hier wären Baggerschürfe zur Verifizierung zu beauftragen,

Gemäß den Aufschlüssen wird das Einbringen mittels Schlagen, Vibration oder Einpressen, partiell ab ±2,0 m uGOK, erschwert (Einbringhilfen vorsehen). Hierzu sind bspw. Ansatzpunkte aus Tabelle 4 zu nennen.

Sollte der Widerstand der trockenen, halbfesten bis festen Böden oder sehr dicht gelagerten Böden in der Übergangszone jedoch zu hoch sein, ist als Einbringhilfe ein partielles Vorbohren (Lockerungsbohrung) zu empfehlen.

Auf Spülvorgänge ist dagegen nach Möglichkeit zu verzichten, da sonst die Tragfähigkeit der anstehenden, wasserempfindlichen Böden negativ beeinträchtigt werden könnte und eine ausreichende Einspannung in den oberen 1,5 m nicht mehr gegeben ist.

Es wird empfohlen, vor Beginn der Arbeiten zunächst Proberammungen durchzuführen.

#### 3.3 Ermittlung der erforderlichen Rammtiefen

Diese kann erst durchgeführt werden, sobald die Auflagerlasten des Gestellbauers vorliegen. Für die Berechnung der Rammtiefe ist es erforderlich, nicht nur die Bodenkennwerte und Bodenverhältnisse zu kennen. Zusätzlich ist es notwendig, die Form und Größe (Materialkennwerte) des gewählten Rammpfostens und die Kräfte zu kennen, die auf diesen Pfosten einwirken. Die Ermittlung dieser Kräfte erfolgt durch den Statiker des Gestellherstellers.

Erst wenn die Werte:

- Maximal zu erwartende Druckkraft
- Maximal zu erwartende Zugkraft
- Maximal zu erwartende Horizontalkraft
- Maximal zu erwartendes Kippmoment

für jeden Pfosten bzw. Pfostentyp der geplanten PV-Anlage vorgelegt werden, kann die für diese Pfosten notwendige Rammtiefe berechnet werden.



#### Verfahrenstechnik - Schraubfundamente 4

Die Gründung kann bspw. auch mittels Schraubfundamenten erfolgen. Die Schraubfundamente werden einfach wie Schrauben in den Boden gedreht bis der Widerstand und damit die Tragfähigkeit ausreichend hoch ist. Auch der Rückbau, sollte das Gebäude einmal wieder entfernt werden, ist sehr unkompliziert, da die Schraubfundamente wieder aus dem Boden gedreht werden können.

Im Folgenden werden Angaben anhand Unterlagen der Fa. KRINNER aufgeführt, welche vom Prinzip her als exemplarisch einzuschätzen sind und daher als Orientierung dienen können. Genaue Angaben sind vom entsprechenden Hersteller zu erfragen.



Abb. 1: KRINNER Das Schraubfundament (Prinzipskizze, Quelle: Broschüre Sortimentsübersicht)

KRINNER Schraubfundamente sind in unterschiedlichen Ausführungen und einer Größe von 55 cm bis 300 cm erhältlich.

Die Schraubfundamente werden bis zum Erreichen der tragfähigen anstehenden Lehme von durchgängig mindestens steifer Konsistenz eingebaut. Dabei ist eine Einbindetiefe von mind. ca. 1 m in den tragfähigen Schichten zu empfehlen bzw. den Angaben des Herstellers zu folgen.

Durch die Möglichkeit der unkomplizierten Vertiefung der Schraubfundamente bis in Tiefen mit ausreichend hohem Widerstand, scheint eine Gründung mit Schraubfundamenten gemäß den Aufschlüssen grundsätzlich jedoch durchführbar zu sein.

Bei der Überschreitung der maximalen Länge von 3,00 m, können die Schraubenfundamente bis zur erforderlichen Tiefe verlängert werden.

Gemäß den Angaben von Herrn Eric Hannapel (Krinner-RP Deutschland Mitte) weisen KRINNER Schraubfundamente eine Tragfähigkeit von 50 – 60 kN (= 5 – 6 Tonnen) auf und können Druck-, Zug- und Horizontallasten aufnehmen. Der Durchmesser der Schraubfundamente beträgt 114 mm. Die Schraubfundamente sind gegen Korrosion durch eine Feuerverzinkung gemäß DIN EN ISP 1461 geschützt.

Die Bemessung der Schraubfundamente wird von den ausführenden Unternehmen und Tragwerksplaner übernommen.

### 5 Analytik

Zur Beurteilung des Bodens hinsichtlich der Stahl- und Betonaggressivität wurde -1- Mischprobe MP1-Stahl/Beton aus den aufgeschlossenen Böden erstellt und nach DIN 50929, Teil 3 im Labor der Agrolab GmbH untersucht. Der Prüfbericht ist als Anlage 7 beigefügt.

### Analyse des Bodens auf stahlaggressive Bestandteile

Die Stahlaggressivität wird durch Zuordnung von Bewertungszahlen ( $Z_x$ ) bestimmt. Das Ergebnis entspricht damit der Summe  $Z_1$ ,  $Z_3$ ,  $Z_4$ ,  $Z_5$ ,  $Z_6$ ,  $Z_7$ ,  $Z_8$ ,  $Z_9$ ,  $Z_{10}$ .

Bei der untersuchten Probe handelt es sich überwiegend um sandige Schluffe / Lehme. Der Anteil an abschlämmbaren Bestandteilen beträgt zwischen 30 M.-% und 50 M.-%, was einer Bewertungszahl Z<sub>1</sub> von 0 entspricht.

Die Bewertungszahl Z<sub>10</sub> beurteilt die Lage des Objektes zum Grundwasser. Es wird angenommen, dass das Grundwasser mehrere Meter unterhalb der Pfosten steht und daher nie in Berührung kommt, was einer Bewertungszahl Z<sub>1</sub> von 0 entspricht.

Die erhaltenden Analysewerte wurden mit den Angaben des DVGW Arbeitsblatts GW 9 verglichen und auf dieser Grundlage beurteilt.

Tabelle 5: Ergebnisse Stahlaggressivität

Bezeichnung / Entnahme- stelle	Bewertungszahl	Stahlaggressivität	Bodengruppe nach DIN EN 12501-1
MP1-Stahl/Beton	$Z_{1} = 0$ $Z_{3} = 0$ $Z_{4} = -1$ $Z_{5} = 0$ $Z_{6} = 0$ $Z_{7} = 0$ $Z_{8} = 0$ $Z_{9} = 0$ $Z_{10} = 0$ $\Sigma = -1$	Schwach aggressiv	lb

Für die Bestimmung der Bewertungszahl B<sub>0</sub> nach DVGW GW 9 (A), Ausgabe Mai 2011 ist zusätzlich der spezifische elektrische Bodenwiderstand zu bestimmen (Bewertungszahl Z<sub>2</sub>), welcher hier in Anlehnung an die Messungen in Anlage 6 mit der Bewertungszahl 0 beziffert wird.

### **Ergebnis**

Wie die Ergebnisse in der Anlage 7 und in obiger Tabelle zeigen, sind die Böden im Projektgebiet auf Grund der Bewertungszahlsumme -1 als "schwach aggressiv" zu bezeichnen und in die Bodengruppe Ib nach DIN EN 12501-1 einzuordnen.

Die Korrosionswahrscheinlichkeit bei freier Korrosion von unlegierten und niedriglegierten Eisenwerkstoffen ist **gering** für die Mulden- und Lochkorrosion und **sehr gering** für die Flächenkorrosion.

### Analyse des Bodens auf betonaggressive Bestandteile

Die Analyse des Bodens auf betonaggressive Bestandteile wird nach standardisierten Verfahren durchgeführt, die darauf abzielen, die potenziellen schädlichen Wirkungen auf Betonbauwerke zu ermitteln. Der Ablauf umfasst mehrere Schritte:

 Probenahme: Bodenproben werden systematisch und repräsentativ von verschiedenen Stellen der Baufläche entnommen, um eine genaue Analyse zu gewährleisten. Die Proben werden in luftdichten Behältern transportiert, um Verfälschungen zu vermeiden.

### 2. Laboranalyse:

- Sulfatgehalt: Der Boden wird auf seinen Sulfatgehalt untersucht, typischerweise durch chemische Extraktion und anschließende Analyse mittels Ionenchromatographie oder Gravimetrie.
- pH-Wert: Der pH-Wert des Bodens wird in einer Boden-Wasser-Suspension gemessen, um den Säuregrad zu bestimmen.
- o **Chloridgehalt**: Die Chloridionenkonzentration wird durch eine potentiometrische Titration oder Ionenchromatographie ermittelt.
- Magnesiumionen: Der Magnesiumgehalt wird durch Atomabsorptionsspektrometrie oder ähnliche Verfahren bestimmt.
- Bauman-Gully-Test: Die Säurekapazität wird ermittelt, indem eine definierte Menge des Bodens mit Natronlauge titriert wird. Das Volumen der benötigten Natronlauge gibt Aufschluss über den Säuregrad des Bodens in ml/kg.
- Interpretation der Ergebnisse: Die ermittelten Werte werden mit den in DIN 4030 festgelegten Grenzwerten verglichen, um die Aggressivität des Bodens gegenüber Beton zu bewerten.

### <u>Ergebnis</u>

Gemäß den Analyseergebnissen ist der untersuchte Boden nach DIN 4030 als "nicht angreifend" einzustufen – Expositionsklasse XA0.



#### 6 **Erdbautechnische Hinweise**

Grundsätzlich ist bei Aushubarbeiten die DIN 4124 zu beachten. Diese Norm gibt an, nach welchen Regeln Baugruben und Gräben zu bemessen und auszuführen sind.

In Regelfällen dürfen Kurzzeitböschungen von Baugruben bis maximal 5 m Böschungshöhe über dem Grundwasser ohne rechnerischen Nachweis der Standsicherheit bei Einhaltung der Regelabstände für Verkehrslasten gemäß DIN 4124 unter folgenden maximalen Böschungswinkeln hergestellt werden:

nicht bindige Böden ≤ 45°

bindige Böden ≤ 45° bei weicher Konsistenz

≤ 60° bei mindestens steifer Konsistenz

Werden beim Baugrubenaushub Böden unterschiedlicher Bodengruppen oder steife und weiche Partien in Wechsellagerung angeschnitten, so ist über die gesamte Böschungshöhe der zulässige Neigungswinkel des ungünstigsten Schichtpakets auszuführen (d. h.  $\leq 45^{\circ}$ ).

Die angegebenen zulässigen Böschungswinkel gelten nur für Regelfälle. Geringere Böschungsneigungen sind vorzusehen und nach DIN 4084 rechnerisch nachzuweisen, wenn besondere Einflüsse die Standsicherheit gefährden. Dies gilt beispielsweise bei

- Schichtwassereinflüssen, Anschnitt von Staunässehorizonten,
- Böschungen von mehr als 5 m Höhe,
- Baumaschinen oder Baugeräten bis einschließlich 12 t Gesamtgewicht, die nicht einen Abstand von mindestens 1 m zwischen der Außenkante der Aufstandsfläche und der Grabenbzw. Böschungskante einhalten,
- Baumaschinen oder Baugeräten von mehr als 12 t bis 40 t Gesamtgewicht, die nicht einen Abstand von mindestens 2 m zwischen der Außenkante der Aufstandsfläche und der Graben- bzw. Böschungskante einhalten,
- Steigung des an die Böschungskante anschließenden Geländes von mehr als 1:10.

Bei zusätzlichen Belastungen nicht verbauter Grubenwände durch Bagger, Hebezeuge, Übergänge, Lagerstoffe oder dergleichen ist die Standsicherheit nach DIN 4084 nachzuweisen.

Liegen Baugruben länger offen, so sind die Böschungen durch sorgfältige Folienabdeckung vor Erosion durch Witterungseinflüsse zu schützen. In der Baugrube gegebenenfalls anfallendes Schichtwasser ist zusammen mit zufließendem Niederschlagswasser mittels offener Wasserhaltung (Pumpensümpfe) ordnungsgemäß zu fassen und dauerhaft abzuleiten.



#### 7 Wegebau

Auftragsgemäß sollen Aussagen zum Wegebau getätigt werden. Außer der Angabe, dass eine wassergebundene Decke sowie eine Achslast von 15 t (Schwerlasttransport-Lkw) zu berücksichtigen ist, wurden keine weiteren Informationen mitgeteilt. Es ist aktuell nicht klar, wo welche Art von Wegebau vorgesehen ist und ob diese nur für den Bauzustand oder darüber hinaus spezielle Anforderungen erfüllen müssen. Es wird daher zunächst nur allgemein auf diese Thematik eingegangen.

Für den Bau von Wegen und temporären Baustraßen, die eine Achslast von 15 Tonnen tragen müssen, sind spezifische Maßnahmen erforderlich, um die Stabilität und Dauerhaftigkeit zu gewährleisten.

### Temporäre Baustraßen

Ziel: Temporäre Baustraßen dienen dazu, während der Bauphase schwere Maschinen und Materialien sicher zu transportieren. Diese Wege müssen stabil und belastbar sein, aber auch nach Abschluss der Bauarbeiten leicht rückbaubar.

### Maßnahmen zur Gewährleistung der Tragfähigkeit:

### 1. Untergrundvorbereitung:

- Entfernen des Oberbodens, ggf. Abschieben weiteren Bodens bis auf geplante Planumshöhe / Geländemodellierung
- Eine gleichmäßige und stabile Basis durch Planieren und Verdichten des Untergrundes schaffen.
- Untergrund sollte eine mind. steife, besser, steif-halbfeste oder halbfeste Konsistenz aufweisen
- Prüfung des Planums über Plattendruckversuche (minimale Anforderung bei landwirtschaftliche Wegen  $E_{v2} > 30 \text{ MN/m}^2$ , bei Straßen üblich  $E_{v2} > 45 \text{ MN/m}^2$ ). Letzteres ist evtl. nicht flächig direkt erfüllbar, weshalb u.U. Bodenaustausch von 15-30 cm vorzusehen wäre. Wir empfehlen bei den hohen Achslasten letzteres zu gewährleisten

### 2. Tragschicht:

- o Einbau einer Schicht aus grobem Schotter (Körnung 0/32 bis 0/56 mm), die gut verdichtet wird, um eine stabile Basis zu bilden.
- o Die Schotterschicht sollte eine ausreichende Dicke (mindestens 30 cm) haben, um die Lasten gleichmäßig zu verteilen.

### 3. Deckschicht:

- Eine Deckschicht aus feinerem Material (z.B. Kies oder Schotter 0/16 mm) wird aufgebracht und ebenfalls verdichtet.
- Diese Schicht verbessert die Fahrbahnglätte und reduziert die Staubbildung.

### 4. Geotextilien:

- Verwendung von Geotextilien zwischen dem Untergrund und der Tragschicht, um die Stabilität zu erhöhen und Vermischungen der Schichten zu verhindern.
- Vereinfacht den Rückbau nach Beendigung der Arbeiten

ICP, Büro Eifel Johannes-Kepler-Straße 7

54634 Bitburg Telefon 06561-18824 E-Mail bitburg@icp-geologen.de

ICP, Zentrale Am Tränkwald 27 67688 Rodenbach Telefon 06374-80507-0

ICP, Büro Südpfalz Lindelbrunnstraße 6 76887 Bad Bergzabern Telefon 06343-9539022 E-Mail info@suew-geologen.de



### Wassergebundene Decken

Eine wassergebundene Decke ist ein Straßenbelag, der aus mineralischen Materialien besteht, die durch das natürliche Wasserbindevermögen stabilisiert werden. Diese Deckenart wird häufig für Wege und Straßen in landschaftlich sensiblen oder weniger stark belasteten Bereichen verwendet. Wassergebundene Decken bieten oft eine dauerhafte Lösung für Betriebs- und Wartungswege. Diese sind nicht asphaltiert und bleiben somit wasserdurchlässig.

### Herstellung

Die Herstellung einer wassergebundenen Decke umfasst mehrere Schritte:

#### 1. Unterbau:

 Der Unterbau besteht in der Regel aus einer Schicht groben Schotters oder Kieses, der gut verdichtet wird. Diese Schicht sorgt für die notwendige Tragfähigkeit und Drainage.

### 2. Tragschicht:

o Auf den Unterbau wird eine Tragschicht aus feinerem Schotter oder Kies aufgebracht. Diese Schicht wird ebenfalls gründlich verdichtet, um eine stabile Grundlage zu schaffen.

#### 3. Deckschicht:

 Die abschließende Deckschicht besteht aus einem Gemisch aus Sand, Schluff und feinem Kies. Diese Mischung wird gleichmäßig verteilt und durch Wasserzugabe sowie mechanisches Verdichten stabilisiert. Das Wasser bindet die feinen Partikel und erhöht so die Festigkeit der Oberfläche.

### Einsatzgebiete

Wassergebundene Decken werden häufig verwendet:

- In Parkanlagen und Grünflächen
- Auf Wander- und Radwegen
- In historischen und landschaftlich empfindlichen Bereichen
- Auf weniger stark belasteten Landstraßen und Zufahrtswegen

### Vor- und Nachteile

#### Vorteile:

### 1. Umweltfreundlichkeit:

 Wassergebundene Decken bestehen aus natürlichen Materialien und fügen sich harmonisch in die Landschaft ein. Sie sind vollständig recycelbar und verursachen keine Umweltschäden.

#### 2. Kosteneffizienz:

Die Herstellung ist im Vergleich zu Asphalt- oder Betondecken kostengünstig, sowohl in Bezug auf Material als auch auf Bauaufwand.



### 3. Ästhetik:

o Diese Deckenart hat ein natürliches Aussehen und ist besonders in landschaftlich attraktiven oder historischen Gebieten beliebt.

#### Nachteile:

### 1. Witterungsempfindlichkeit:

Wassergebundene Decken sind anfällig für Erosion und Verschleiß durch Regen, Schnee und Frost. Sie benötigen regelmäßige Wartung, um ihre Qualität zu erhal-

### 2. Tragfähigkeit:

 Sie haben eine geringere Tragfähigkeit im Vergleich zu befestigten Decken und sind nicht für stark belastete Verkehrswege geeignet.

### 3. Staubentwicklung:

Bei Trockenheit kann es zu Staubentwicklung kommen, was die Nutzung beeinträchtigen und zu gesundheitlichen Problemen führen kann.

### Maßnahmen zur Gewährleistung der Tragfähigkeit:

Zunächst Untergrundvorbereitung (siehe Punkt 1 bei temporären Baustraßen), dann:

#### 1. Unterbau:

- Der Unterbau besteht aus einer gut verdichteten Schicht aus grobem Schotter (Körnung bspw. 0/56 mm).
- o Diese Schicht sollte eine Dicke von mindestens 30 cm haben, um die erforderliche Tragfähigkeit zu gewährleisten. Auf Oberkante sollte ein E<sub>v2</sub> ≥ 100 MN/m² erreicht werden.

### 2. Tragschicht:

- Eine weitere Schicht (ca. 10-15 cm) aus feinerem Schotter (0/16 bis 0/32 mm) wird auf den Unterbau aufgebracht und verdichtet.
- o Diese Schicht sollte ebenfalls gut verdichtet werden, um die Belastbarkeit zu erhö-

#### 3. Deckschicht:

- o Die abschließende Deckschicht (ca. 10-15 cm) besteht aus einem Gemisch aus Sand, Schluff und feinem Kies (0/8 mm).
- Diese Schicht wird durch Wasserzugabe stabilisiert und durch Walzen verdichtet, um eine feste und tragfähige Oberfläche zu erzeugen.

### Prüfungen und Qualitätssicherung

Um sicherzustellen, dass die Wege die notwendige Tragfähigkeit erreichen, werden folgende Prüfungen und Maßnahmen durchgeführt:

- 1. **Proctor-Verdichtungstests**: Überprüfung der Dichte und Feuchtigkeit des eingebauten Materials, um sicherzustellen, dass der Verdichtungsgrad den Anforderungen entspricht.
- 2. **Plattendruckversuche**: Bestimmung der Tragfähigkeit und Verformbarkeit der Tragschichten.
- 3. **Kontinuierliche Überwachung**: Regelmäßige Kontrollen während des Einbaus, um die Einhaltung der geforderten Standards zu gewährleisten.

Als Alternative sind darüber hinaus auch **Bodenverbesserungsmaßnahmen mittels hydraulischer Bindemittel** zu nennen (bspw. auch HGT-Schicht).

### Übersicht Wassergebundene Decke zu HGT

#### **Material und Bindemittel:**

- Wassergebundene Decke: Natürliche, mineralische Materialien ohne Bindemittel.
- HGT-Schicht: Mineralische Materialien mit hydraulischen Bindemitteln (z.B. Zement oder Kalk).

### Stabilität und Tragfähigkeit:

- Wassergebundene Decke: Geringere Tragfähigkeit, geeignet für leichtere Verkehrsbelastungen.
- HGT-Schicht: Hohe Tragfähigkeit, geeignet für starke Verkehrsbelastungen.

### Witterungsempfindlichkeit:

- Wassergebundene Decke: Anfällig für Witterungseinflüsse, Erosion und Staubentwicklung.
- HGT-Schicht: Weniger anfällig für Witterungseinflüsse, stabiler und langlebiger.

### Anwendung:

- Wassergebundene Decke: Parkanlagen, Wanderwege, landschaftlich empfindliche Bereiche.
- HGT-Schicht: Hochbelastbare Verkehrswege, Industrieflächen, Fahrbahnen mit hohen Lasten.

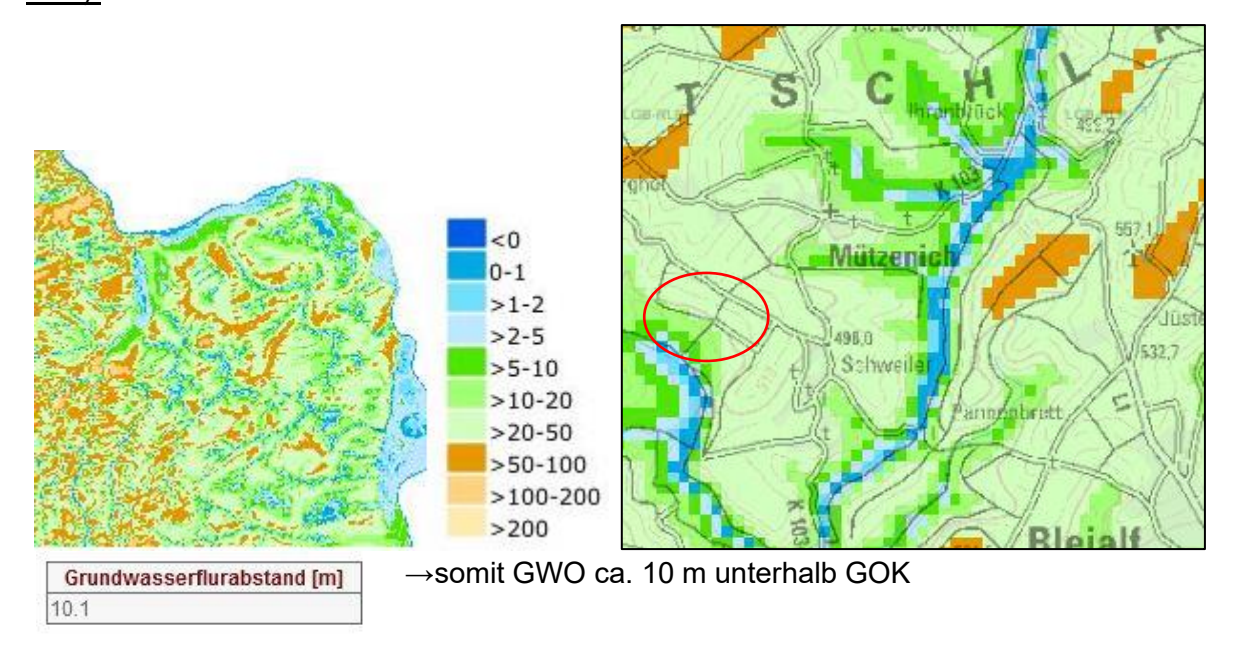
### Zusammenfassung:

- Wassergebundene Decke: Bietet gute Drainage und ist kostengünstig, kann aber regelmäßige Wartung und Pflege erfordern.
- **HGT-Schicht:** Bietet hohe Tragfähigkeit und Langlebigkeit bei geringem Wartungsaufwand, ist jedoch teurer und aufwendiger in der Verarbeitung.



#### 8 Versickerungseignung der anstehenden Böden

Abfrage GWO "Grundwasseroberfläche / GWO: GwFlurabstand [m]" (Landesamt für Geologie RLP):



#### 8.1 Allgemeines

Die Menge des zur Versickerung gelangenden Wassers wird von zwei Faktorengruppen bestimmt. Die eine besteht aus der Menge und Verteilung des zu versickernden Wassers und der Evapotranspiration (Boden- und Pflanzenverdunstung). Die andere besteht aus Bodeneigenschaften, wie dem Zusammenhang zwischen Wasserspannung einerseits, Wasserleitfähigkeit und Wassergehalt andererseits und dazu dem Infiltrationsvermögen. Des Weiteren spielen die Tiefe der Grundwasseroberfläche und die Topografie der Bodenoberfläche (Anfall von Oberflächenwasser) eine Rolle.

Nach dem Arbeitsblatt DWA-A 138 kommen für die Versickerung Lockergesteinsböden in Frage, deren k<sub>f</sub>-Werte (Durchlässigkeitsbeiwerte) im Bereich von 1 x 10<sup>-3</sup> bis 1 x 10<sup>-6</sup> m/s liegen (Flächenversickerung 2 x 10<sup>-5</sup> m/s). Weiterhin muss zur Reinigung der eingeleiteten Niederschlagswässer eine ausreichend mächtige, belebte Bodenzone vorhanden sein (ca. 0,3 m). Bei einer Bodenpassage in entsprechender Größenordnung wird ein Großteil der zumeist partikelgebundenen Schadstoffe zurückgehalten.

Der Abstand zwischen mittlerem höchstem Grundwasserstand (MHGW) und Sohle der Versickerungsanlage (Mächtigkeit des Sickerraums) muss mindestens 1 m betragen, damit eine ausreichende Sickerstrecke für eingeleitete Niederschlagsabflüsse zu gewährleisten.

Der Feinkorngehalt des Bodens auf der für die Versickerung herzustellenden Muldensohle sollte so gering wie möglich sein, um eine Verstopfung der Poren in diesem Bereich zu verhindern. Die Sohle der Muldenfläche sollte bei der Herstellung der Mulde so wenig wie möglich verdichtet werden. Bei Aushub von gewachsenem Boden ist beim Abziehen der Oberfläche eine Verdichtung durch die Baggerschaufel zu vermeiden.

Tabelle 6: Korrekturfaktoren zur Festlegung des Bemessungs-k<sub>f</sub>-Wertes gemäß Anhang B des Regelwerkes DWA A 138

Bestimmun	Korrekturfaktor	
Abschätzung nach	1	
	Sieb-/Schlämmanalyse	0,2
Labormethoden	Permeameter (ungestörte, Probe, vertikale Probenahme)	1
Feldme	2	

→Im Feld: um der Ungenauigkeit durch evtl. nicht ausreichende Aufsättigung der anstehenden Böden entgegenzuwirken.



Lage der Versuche



### 8.2 Ermittlung des kf-Wertes

Zur Ermittlung der Infiltrationsrate wurden -4- Versickerungsversuche im unteren, tiefst gelegenen Bereich des Projektgebiets, hier 4x nach LANG/HUDER LH1-4 durchgeführt, da nur hier, wenn überhaupt, die Herstellung von Versickerungsanlagen sinnig ist. Die Versuchsprotokolle liegen in Anlage 8 bei.

### Nach LANG/HUDER (Feld)

Die Auswertung erfolgt gemäß dem Zusammenhang zwischen Absinkmaß und Versuchsdauer nach folgender Formel:

$$k_f = d/28 * 1/h_m * (\Delta h/\Delta t)$$
 [m/s]

k<sub>f</sub> gesuchter Durchlässigkeitsbeiwert

L , B Länge und Breite der Grube

A<sub>w</sub> = L ⋅ (B + h<sub>m</sub>) wirksame Versickerungsfläche

d =  $-h_1 + \sqrt{(h_1^2 + (4 * A_w / \pi))}$  äquivalenter Durchmesser eines runden Lo-

ches

 $h_m = (h_1 + h_2) / 2$  mittlere Druckhöhe für den Messzeitraum  $\Delta t$ 

 $\Delta t$  Differenz, Zeitintervall  $t_1 - t_2$ 

h<sub>1</sub> Ausgangsdruckhöhe, Füllhöhe bei Beginn

h<sub>2</sub> Druckhöhe zur Messzeit t<sub>2</sub> am Ende

 $\Delta h$  Druckdifferenz  $h_1 - h_2$ 

### **Durchführung:**

Mittels Handschurf wurde ein ebenes Loch von ca. 30-40 cm Durchmesser bis unterhalb des Oberbodens hergestellt. Anschließend wurde ein Stahlzylinder in den Boden gedrückt, sodass dieser luftdicht mit dem anstehenden Boden verbunden ist und wird mit Wasser gefüllt. Nach einer Aufsättigung des Bodens beginnt die Versuchsdurchführung – Messung des Absinkmaßes pro Zeit.



### **Ergebnis**

Versickerungsversuch LH	Tiefe unter GOK [m]	Bemessungs-k <sub>f</sub> [m/s]
1	0,20	5,4 x 10 <sup>-7</sup>
2	0,25	6,5 x 10 <sup>-7</sup>
3	0,20	1,6 x 10 <sup>-5</sup>
4	0,21	3,5 x 10 <sup>-7</sup>

### Bewertung

Die Böden sind an den Stellen der Versuche LH1/2/4 daher gemäß DIN 18130 als schwach durchlässig zu klassifizieren und für eine gezielte Versickerung nach dem Arbeitsblatt DWA-A138 als nicht geeignet und nur bei LH3 als geeignet zu beurteilen.

Wir empfehlen daher bei gezielter Versickerung den Bereich um LH3 (Koordinaten siehe Tabelle 1) zu nutzen. In den übrigen Bereichen ist sicherlich auch eine Versickerung möglich, sie bedarf nur eines längeren Zeitraums, weshalb Anlagen in diesen Bereichen größer zu dimensionieren wären. Generell empfehlen wir, sich die Örtlichkeiten und die Grundstücksverhältnisse vor Ort detailliert anzuschauen, bevor Planungen zu Versickerungsanlagen angestellt werden, da hierdurch evtl. relevante Erkenntnisse auftreten können.

Auf Grundlage der ermittelten Daten und unter Berücksichtigung der örtlichen Bodenverhältnisse wird Folgendes empfohlen:

- Oberflächennahe Versickerung: Da die oberen Schichten (bis ca. 1 m Tiefe) zumindest bei LH3 ausreichend durchlässig sind, sollte eine oberflächennahe Versickerung bevorzugt werden. Dies kann über Mulden-Rigolen-Systeme oder Versickerungsmulden er-
- Die Durchlässigkeit in größerer Tiefe wurde nicht geprüft, würde aber auch erst bei Planung entsprechend tiefer Versickerungsanlagen mit entsprechendem Aushub Sinn machen. Mit zunehmender Tiefe ist ein erhöhter Skelettanteil zu erwarten, was die Durchlässigkeit je nach Zusammensetzung und Kluftstrukturen des anstehenden verwitterten Festgesteins günstig beeinflussen kann, aber nicht muss. Vorab wird davon ausgegangen, dass durch die Bebauung mittels PV-Anlagen kein anderer Oberflächenabfluss als bisher zu erwarten ist und nur bei starken/langanhaltenden Niederschlägen eine Durchnässung im unteren Geländebereich zu erwarten ist. Überschüssige Wassermassen entwässern hier auch direkt in den parallel zum Hang verlaufenden Vorfluter Baiersbach. Wohnbebauung ist nicht betroffen.

# 9 Ermittlung des spezifischen Erdwiderstands mittels Wenner-Methode

Zur geophysikalischen Untersuchung des Untergrunds wurde der spezifische Erdwiderstand  $\rho_s$  an zwei Messreihen mithilfe der **Wenner-Methode** bestimmt. Diese Methode ermöglicht es, den spezifischen Widerstand des Bodens durch unterschiedliche Elektrodenabstände a zu erfassen, um Hinweise auf Feuchtigkeitsgehalt, Bodenzusammensetzung und mögliche Inhomogenitäten zu erhalten. Die Messungen wurden in zwei Datensätzen (Erdwiderstand 01 und Erdwiderstand 02) bei Elektrodenabständen von 0,5 m bis 30 m durchgeführt.

**Hinweis zur Interpretation**: Der Elektrodenabstand a steht nicht für die direkte Tiefe, sondern beeinflusst indirekt die Eindringtiefe des elektrischen Felds. Größere Elektrodenabstände erfassen Informationen über tiefere Bereiche im Bodenprofil, während kleinere Abstände eher oberflächennahe Schichten abbilden.



Übersicht Messreihen 01 (E1) und 02 (E2), jeweils Ausrichtung O-W, Pfeildarstellung nur skizziert

Das zugrunde liegende grob vereinfachte Bodenprofil zeigt eine Schichtung von weichen Oberböden bis hin zu festem Gestein:

- 1. Oberboden (bis ±0,2 m): weich, organisch geprägt.
- 2. Leicht plastische Lehme (bis ±0,5 m): weich bis steif.
- 3. Leicht plastische Lehme (bis ±2,0 m): steif bis halbfest.
- 4. Übergangszone (ab 2,0–3,0 m): verwittertes Festgestein, Ton-, Silt- und Sandstein mit hohem Skelettanteil.
- 5. Fester oder dichter Boden (ab ±3,0 m): hohe Tragfähigkeit, geringe Feuchte.

### **Ergebnisse und Interpretation**

Die beiden Messreihen Erdwiderstand 01 und Erdwiderstand 02 zeigen jeweils typische Verläufe des spezifischen Erdwiderstands mit zunehmendem Elektrodenabstand. Es gibt jedoch Unterschiede in den Widerstandswerten und dem Verlauf des spezifischen Widerstands, die auf Unterschiede in der Bodenstruktur hinweisen.

#### Messreihe Erdwiderstand 01:

- Elektrodenabstand 0.5 m bis 5 m:
  - Der spezifische Widerstand liegt zwischen ca. 234 und 298 Ω·m, was auf geringere Feuchtigkeit oder höhere Dichte der oberflächennahen Schichten (Oberboden, Lehm) hinweist.
  - Die Werte stimmen gut mit der Bodengruppe TL (tonige Lehme) überein, die eine moderate Leitfähigkeit bei niedriger bis mittlerer Feuchte aufweisen.
- Elektrodenabstand 8 m bis 30 m:
  - Mit zunehmendem Abstand stabilisiert sich der spezifische Widerstand auf 126–154
     Ω·m, was auf die Übergangszone und die verwitterte Gesteinsschicht hinweist.
  - Die Homogenität dieser Werte deutet auf gleichmäßig feuchte und gut leitfähige tiefere Schichten hin (verwittertes Festgestein, tonhaltig).
- Zusammenfassung:
  - Die Messung zeigt eine gleichmäßige, homogene Struktur der tieferen Bodenschichten. Die geringe Streuung der Werte spricht für eine durchweg feuchte, aber gut leitfähige Schicht in größerer Tiefe.

#### Messreihe Erdwiderstand 02:

- Elektrodenabstand 0,5 m bis 5 m:
  - Die spezifischen Widerstandswerte liegen mit 264–347 Ω·m im ähnlichen Bereich wie bei Messreihe 01, deuten jedoch auf etwas trockenere oder dichtere Verhältnisse in den oberflächennahen Schichten hin.
- Elektrodenabstand 8 m bis 30 m:
  - Nach einem anfänglichen Rückgang steigen die Werte bei größeren Elektrodenabständen auf bis zu 223 Ω·m an. Dies könnte auf eine inhomogene Übergangszone oder eine unterschiedliche Zusammensetzung (z. B. wechselnder Skelettanteil) im verwitterten Festgestein hinweisen.

#### Zusammenfassung:

Erdwiderstand 02 zeigt eine heterogene Struktur in den tieferen Bereichen. Die zunehmenden Widerstandswerte bei größeren Abständen könnten auf eine Mischung aus feuchten und trockeneren Partien hinweisen, möglicherweise durch variierende Gesteinsanteile oder ungleichmäßige Feuchteverteilung.

### Interpretation im Hinblick auf das Bodenprofil

Die Messergebnisse passen gut zum beschriebenen Bodenprofil, wobei folgende Zusammenhänge auffallen:

- 1. Oberboden und tonige Lehme:
  - Die Widerstandswerte im Bereich kleiner Elektrodenabstände sind typisch für tonige Lehme, die bei geringer Feuchtigkeit moderat leitfähig sind.
  - Die h\u00f6here Leitf\u00e4higkeit (niedrigere Widerst\u00e4nde) in Messreihe 01 deutet auf eine leicht feuchtere oberfl\u00e4chennahe Schicht hin.
- 2. Verwittertes Festgestein (2,0-3,0 m):
  - In Messreihe 01 zeigen die konstant niedrigen Widerstandswerte in den tieferen Bereichen eine gleichmäßige und durchgehend feuchte Struktur, was auf eine homogene, ton- und siltreiche Zusammensetzung schließen lässt.
  - o In Messreihe 02 lassen die ansteigenden Werte auf Inhomogenitäten in der Übergangszone schließen, etwa durch variierenden Skelettanteil oder trockene Bereiche.
- 3. Fester, dichter Boden ab 3,0 m:
  - Beide Messungen erfassen den Einfluss des festeren Gesteins. In Messreihe 01 bleibt die Leitfähigkeit dennoch hoch, was auf feuchte Bedingungen hinweist. Die leicht höheren Widerstände in Messreihe 02 deuten auf trockenere oder dichtere Bedingungen hin.

#### Unwägbarkeiten und Einflussfaktoren

Die Interpretation der Ergebnisse der Wenner-Methode unterliegt bestimmten Einschränkungen:

- 1. Toleranzen und Streuungen:
  - Kleine Änderungen in der Feuchtigkeit, Bodentemperatur oder Leitfähigkeit können große Auswirkungen auf die Messergebnisse haben.
  - Die Methode liefert nur indirekte Informationen über die Bodenschichten, weshalb zusätzliche Bodenproben notwendig sind, um die Ergebnisse zu verifizieren.

#### 2. Einflussfaktoren:

- Feuchtigkeit: Der Wassergehalt hat den größten Einfluss auf die Leitfähigkeit. Änderungen der Feuchtigkeit (z. B. durch Regenfälle oder Grundwasserfluktuation) können die Ergebnisse verfälschen.
- Materialzusammensetzung: Unterschiedliche Korngrößen, Tonanteile oder organische Substanzen beeinflussen die Widerstände erheblich.
- Störfaktoren: Metallische Objekte, Stromleitungen oder andere technische Einflüsse können die Messungen beeinträchtigen.

- 3. Probleme bei der Interpretation:
  - Der Elektrodenabstand ist nicht gleichzusetzen mit der exakten Tiefe, sodass eine klare Zuordnung der Widerstandswerte zu bestimmten Bodenschichten schwierig ist.
  - Heterogene Schichten (z. B. Mischung aus Lehm und Skelett) können zu nicht-linearen Ergebnissen führen.

#### Schlussfolgerungen und Empfehlungen

Die beiden Messreihen weisen Unterschiede in der Bodenstruktur auf, die vor allem bei den größeren Elektrodenabständen deutlich werden. Erdwiderstand 01 zeigt eine gleichmäßige Abnahme des spezifischen Widerstands und deutet auf eine homogene und gut leitfähige Schicht in tieferen Bereichen hin. Erdwiderstand 02 hingegen zeigt ab einem Elektrodenabstand von ca. 16 m wieder ansteigende spezifische Widerstandswerte, was auf wechselnde Materialschichten oder unterschiedliche Feuchteverhältnisse in tieferen Bereichen hindeuten könnte.

#### Empfehlungen:

- Gründungsarbeiten: Für Bauvorhaben, die tiefer liegende Bodenschichten beanspruchen, könnten die homogenen Bedingungen in Erdwiderstand 01 vorteilhafter sein, da eine gleichmäßige Feuchte und Bodenstruktur zu erwarten ist. Bei den weniger homogenen Bedingungen in Erdwiderstand 02 sollte hingegen auf potenzielle Setzungsprobleme und unterschiedliche Tragfähigkeiten geachtet werden.
- Weitere Untersuchungen: Zur Verifizierung der Ergebnisse können detaillierte Bodenprobenentnahmen in verschiedenen Tiefen empfohlen werden, um Feuchtegehalt, Korngrößenverteilung und Dichte des Bodens genauer zu charakterisieren und eine höher aufgelöste Darstellung zu ermöglichen.
- Kabel- und Leitungsverlegung: Die gleichmäßigeren Feuchteverhältnisse in den tieferen Bereichen von Erdwiderstand 01 sind für die Verlegung korrosionsempfindlicher Leitungen günstiger. In Erdwiderstand 02 könnten die unterschiedlichen Feuchteverhältnisse in tieferen Bereichen zu einer erhöhten Korrosionsanfälligkeit führen, welches jedoch im vorliegenden Fall eher zu vernachlässigen ist.

Zusammengefasst zeigen die Untersuchungen, dass der Boden in der Messreihe Erdwiderstand 01 eine konsistent feuchte und homogene Struktur in tieferen Bereichen aufweist, während Erdwiderstand 02 auf eine variablere Struktur und möglicherweise inhomogene Feuchteverteilung schließen lässt. Die Interpretation solcher Messungen ist allgemein

### 10 Schlussbemerkung

Entsprechend den vielfältigen Wechselbeziehungen zwischen Baugrund und Bauwerk ist der vorliegende geotechnische Bericht nur in seiner Gesamtheit verbindlich. Änderungen in den Bearbeitungsunterlagen und vom Bericht abweichende Bauausführungen bedürfen deshalb stets der Überprüfung und der Zustimmung des Gutachters. Auszugsweise Vervielfältigungen dieses Berichts bedürfen der Zustimmung des Unterzeichners.

Baugrundaufschlüsse basieren auch bei Einhaltung der nach den gültigen Vorschriften vorgegebenen Rasterabstände zwangsläufig auf punktförmigen Aufschlüssen, so dass Abweichungen in Bezug auf Schichtmächtigkeit, Ausbildung sowie Lagerungsdichte bzw. Konsistenz der aufgeschlossenen Bodenschichten zwischen den Aufschlusspunkten nicht generell ausgeschlossen werden können. Insbesondere sind jahreszeitlichen Schwankungen unterliegende Grund- und Schichtwasserzuflüsse nicht auszuschließen. Die ICP Ingenieure GmbH behält sich daher eine Überprüfung der Gründungssituation im Zuge einer förmlichen Abnahme der Aushub- und Gründungssohlen (nach DIN 4020 gefordert), gegebenenfalls auch ergänzende Ausführungshinweise vor.

Wird im Zuge der Erdarbeiten ein anderer als im vorliegenden Bericht dargestellter Aufbau des Untergrunds angetroffen, ist der Gutachter unverzüglich zu benachrichtigen und durch die ICP Ingenieure GmbH eine Bestandsaufnahme vor Ort durchzuführen.

Der geotechnische Bericht gilt für das angegebene Objekt nur im Zusammenhang mit den Projektdaten. Eine Übertragung der Untersuchungsergebnisse auf andere Projekte ist ohne Zustimmung der ICP Ingenieure GmbH nicht zulässig.

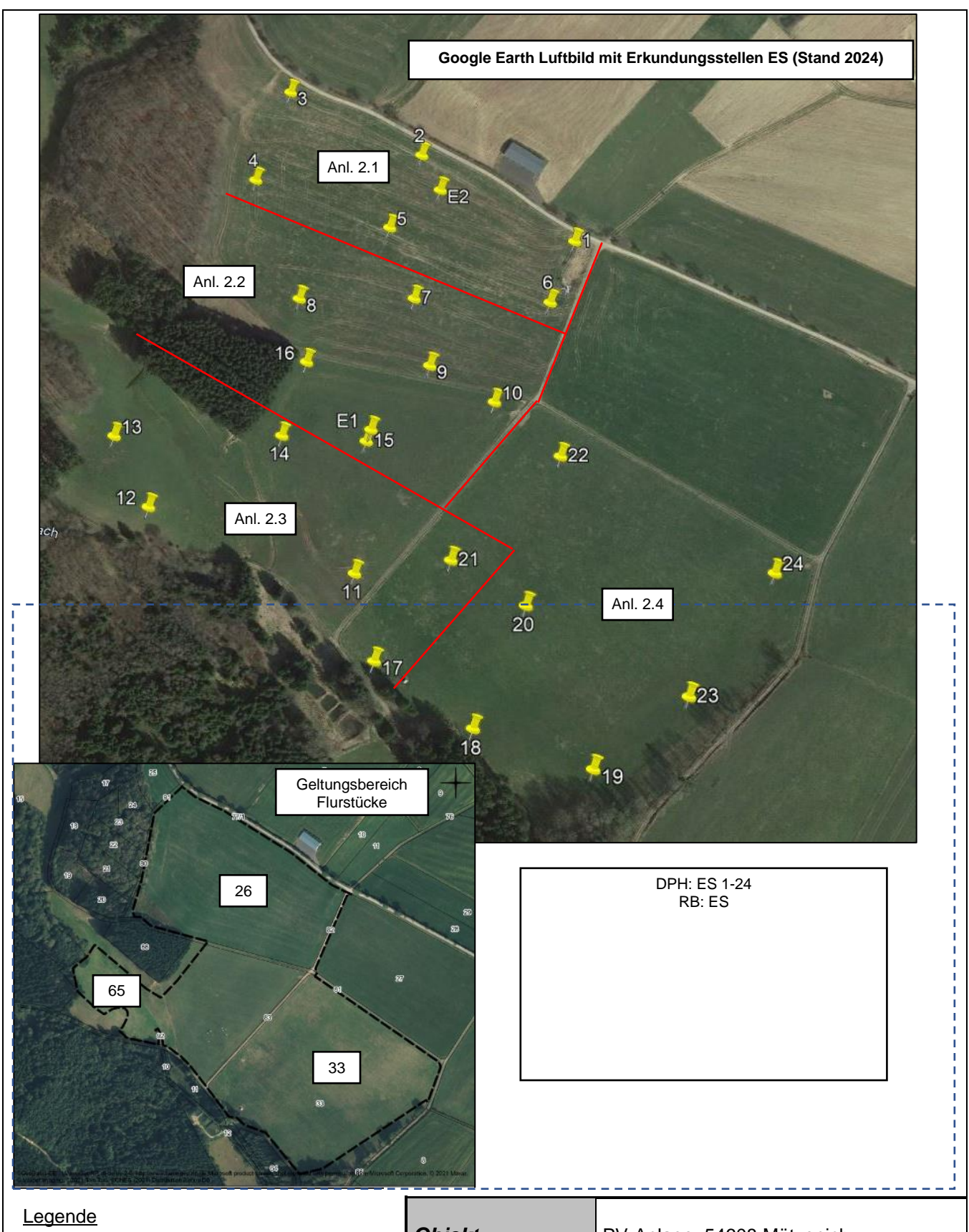
Bei Unsicherheiten/Unklarheiten oder der Gefahr der Fehlauslegung ist der Gutachter heranzuziehen.

**ICP** Ingenieure GmbH

engwerband Deuscher Seowissenschaftler ey

(Dipl.-Geologe/Berat. Geowissenschaftler)

gez. Pascal Begon (B.Eng., B.Sc. UGW)



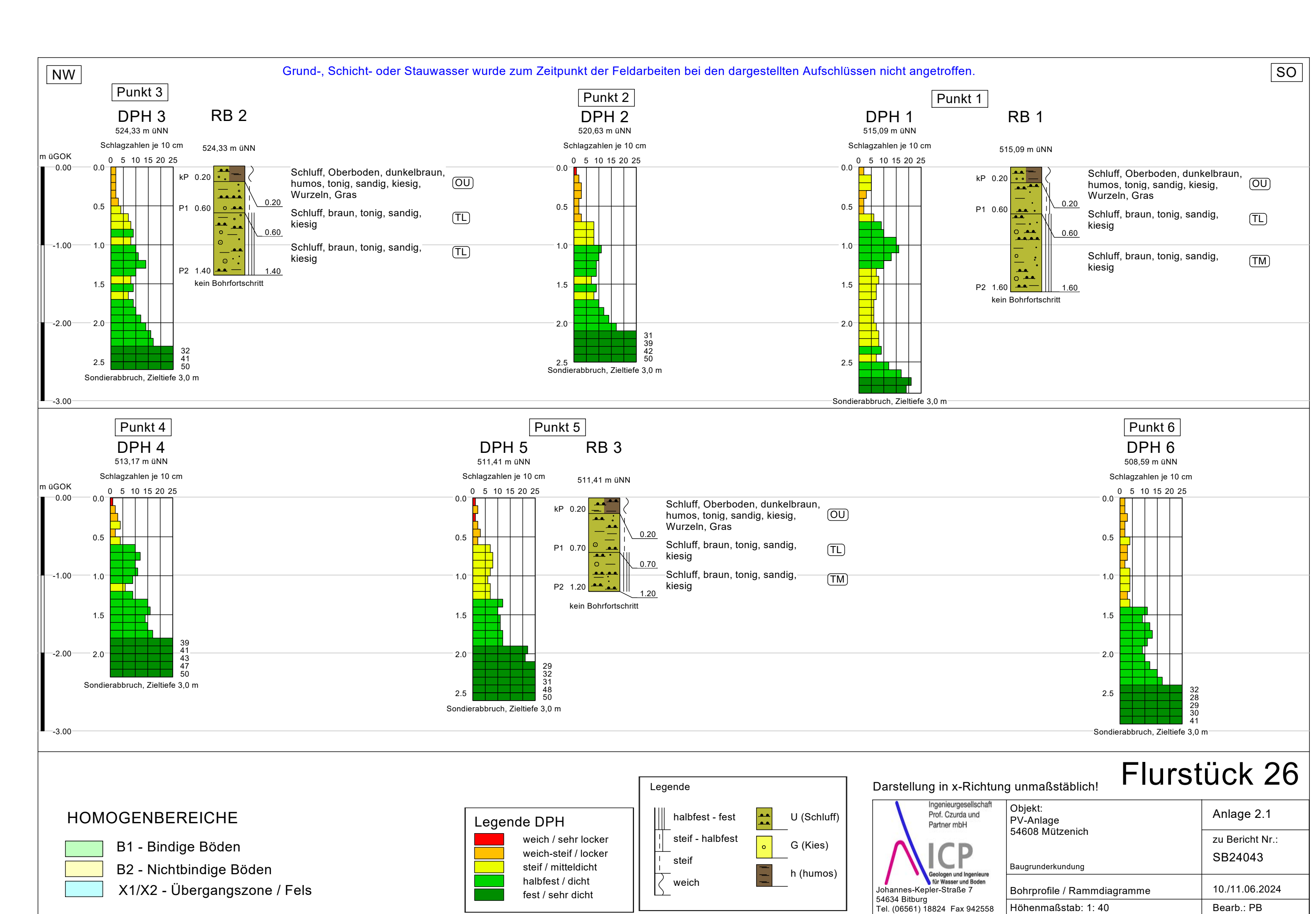
RB (Klein-)Rammbohrung

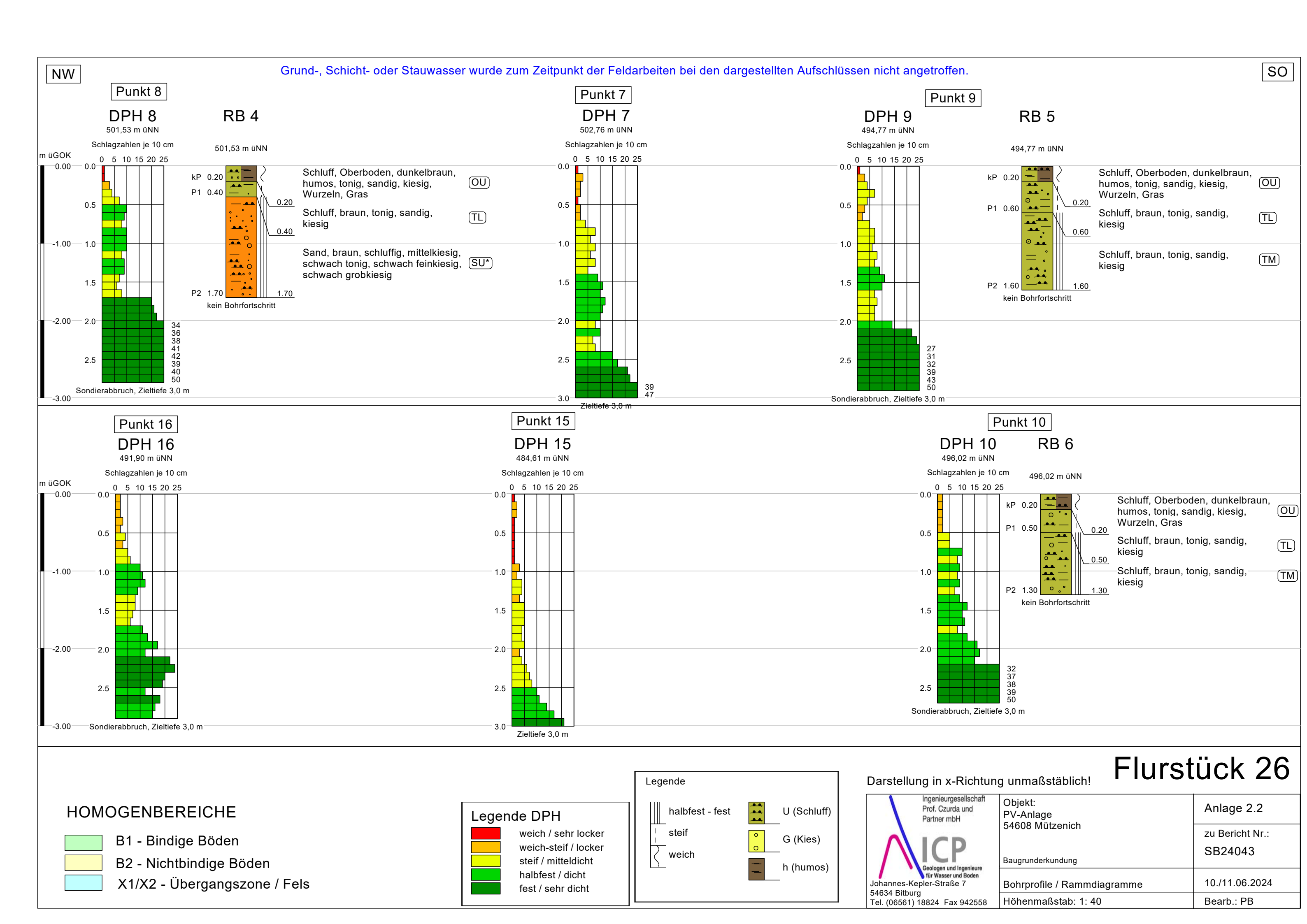
DPH Schwere

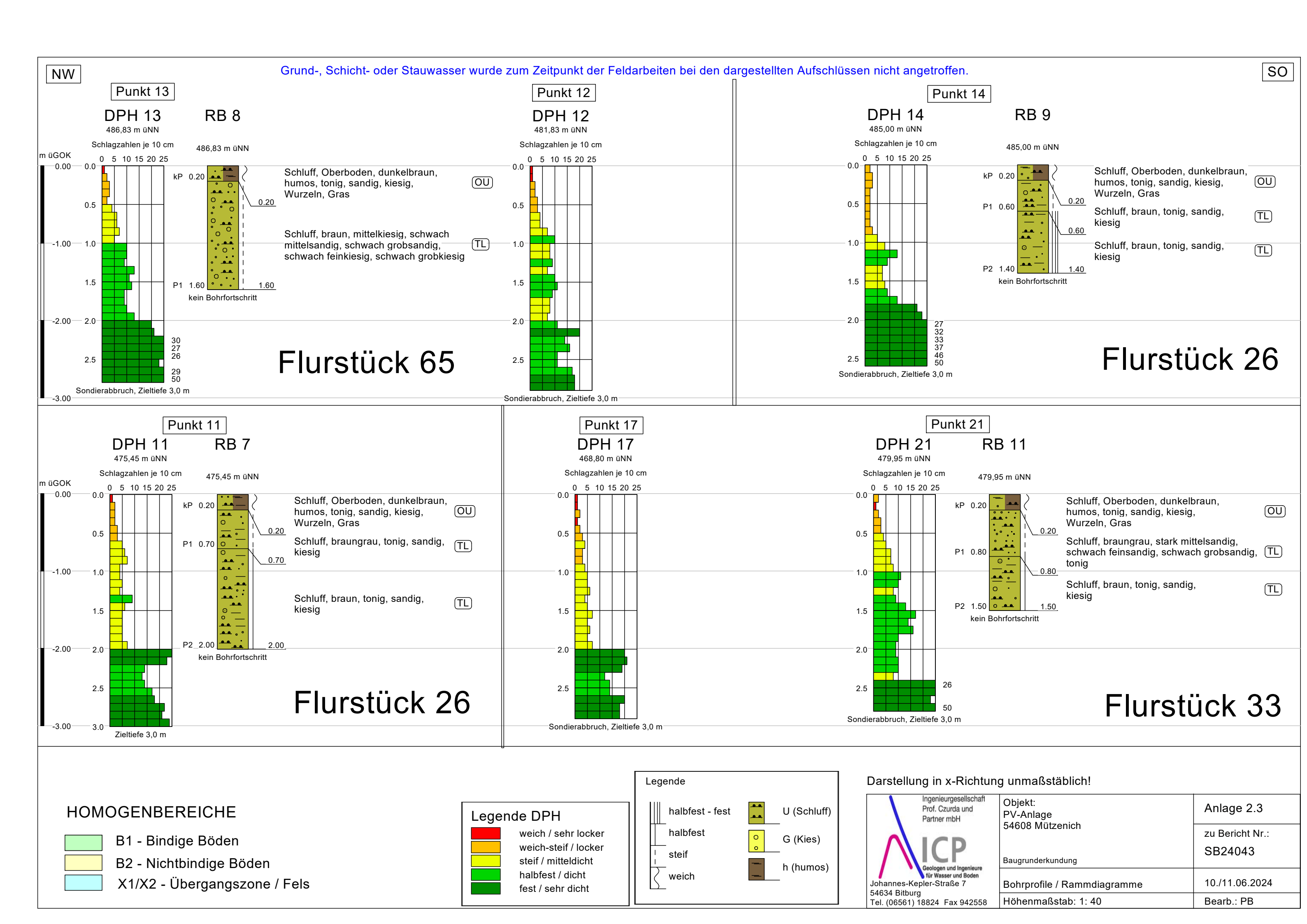
Rammsondierung

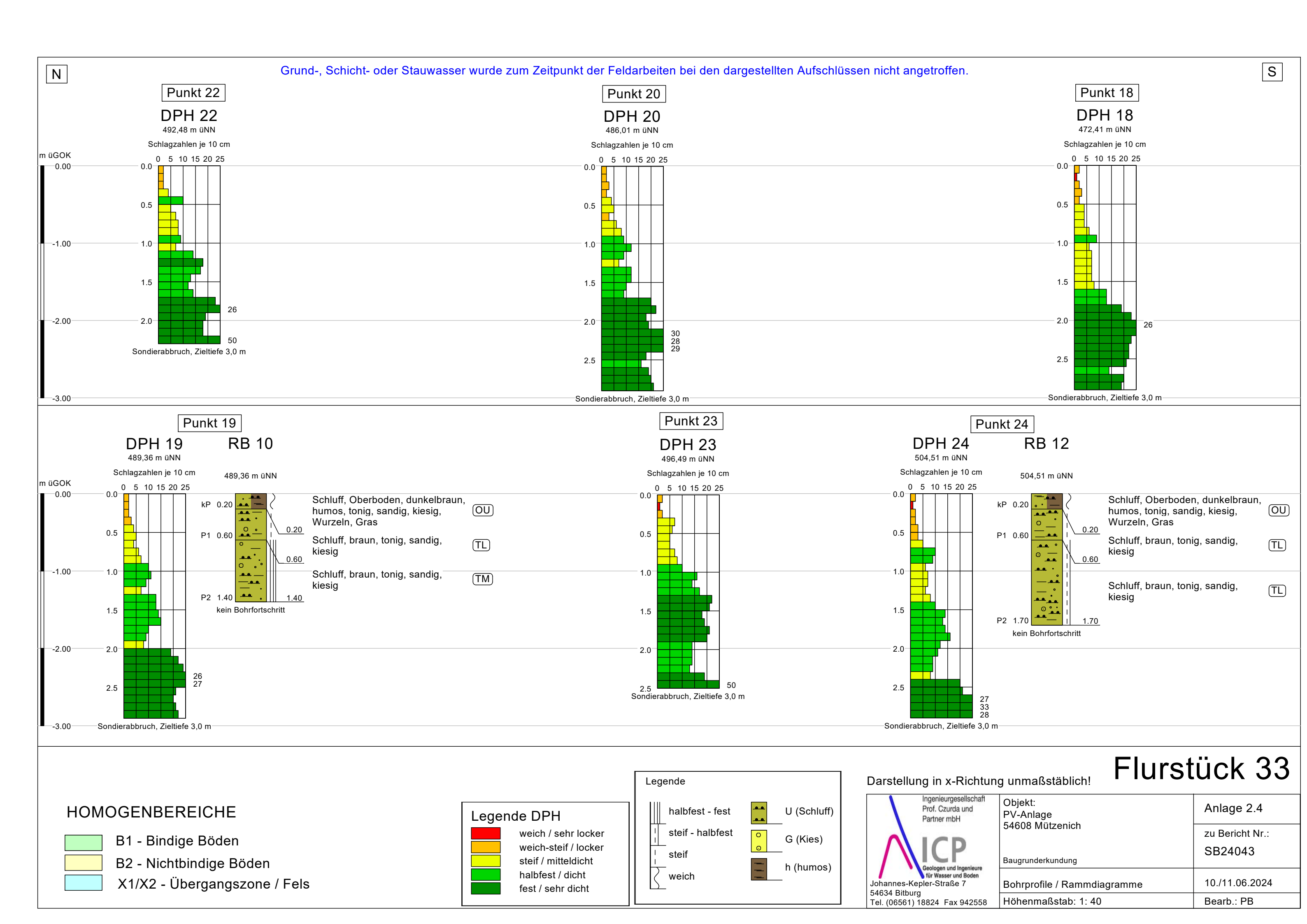
E Erdwiderstandsmessung

Objekt	PV-Anlage, 54608 Mützenich	
ProjNr.	SB24043	
Aufschlussdatum	10./11.06.2024	
Maßstab	schematisch	
Anlage	1	
Bearbeiter	РВ	Ingeniusgeseischaft Parti. Courea und Partiner mitel  ICP  Bonne einer engenieren für Mesen und Staden









ICP mbH Johannes-Kepler-Straße 7 54634 Bitburg Tel.: 06561-18824

### Schichtenverzeichnis

Bericht: SB24043

für Bohrungen ohne durchgehende Gewinnung von gekernten Proben

Anlage: 3

Fax: 06561-942558 PV - Freiflächenanlage - 54608 Mützenich Vorhaben: Datum: **Bohrung** RB 1 / Blatt: 1 Höhe: 515,09 m üNN 10.-11.06.2024 2 1 3 Entnommene a) Benennung der Bodenart Proben und Beimengungen Bemerkungen Bis Sonderprobe b) Ergänzende Bemerkung 1) Wasserführung Tiefe ... m d) Beschaffenheit Beschaffenheit unter Bohrwerkzeuge in m e) Farbe Art Nr nach Bohrgut nach Bohrvorgang Ansatz-Kernverlust (Unterh) 1) punkt i) Kalk-Sonstiges kante) Geologische Benennung 1) f) Übliche g) Benennung Gruppe gehalt **DN 80** kΡ 0.20 a) Schluff, humos, tonig, sandig, kiesig, Wurzeln, Gras b) 0.20 d) leicht zu bohren c) weich e) dunkelbraun i) h) Oberboden OU **DN 80** Ρ1 0.60 a) Schluff, tonig, sandig, kiesig b) 0.60 c) steif - halbfest d) mäßig schwer zu e) braun bohren - schwer zu f) g) h) i)  $\mathsf{TL}$ DN 80 - DN 60 P2 1.60 a) Schluff, tonig, sandig, kiesig b) 1.60 e) braun c) halbfest - fest d) schwer zu bohren sehr schwer zu bo f) h) i) g)  $\mathsf{TL}$ a) b) c) d) e) f) h) i) g) a) b)

e)

h)

i)

d)

1) Eintragung nimmt der wissenschaftliche Bearbeiter vor

c)

f)

## Schichtenverzeichnis

Bericht: SB24043

für Bohrungen ohne durchgehende Gewinnung von gekernten Proben

Vorhab	en:	PV - Freiflächenanlag	e - 54608 Mützenich						
D - h -		- DD 0					Datu	ım:	
Bohr	un	g RB2 / ві	att: 1		Höhe:	524,33 m üNN	10	11.06.2	2024
1			2			3	4	5	6
Bis	a)	Benennung der Boden und Beimengungen	art			Bemerkungen	E	Entnom Prob	
m	b)	Ergänzende Bemerkur	ng <sup>1)</sup>			Sonderprobe Wasserführung			Tiefe
unter Ansatz-	c)	Beschaffenheit nach Bohrgut	d) Beschaffenheit nach Bohrvorgang	e) Farbe		Bohrwerkzeuge Kernverlust	Art	Nr	in m (Unter-
punkt	f)	Übliche Benennung	g) Geologische Benennung <sup>1)</sup>	h) <sup>1)</sup> Gruppe	i) Kalk- gehalt	Sonstiges			kante)
	a)	Schluff, humos, tonig,	sandig, kiesig, Wurzeln, Gi	ras		DN 80		kP	0.20
0.20	b)								
0.20	c)	weich	d) leicht zu bohren	e) dunkel	braun				
	f)	Oberboden	g)	h) OU	i)				
	a)	Schluff, tonig, sandig, I	kiesig			DN 80		P1	0.60
0.00	b)								
0.60	c)	steif	d) mäßig schwer zu bohren	e) braun					
	f)		g)	h) TL	i)				
	a)	Schluff, tonig, sandig, I	kiesig			DN 80 - DN 60		P2	1.40
1.40	b)								
1.40	c)	halbfest - fest	d) schwer zu bohren sehr schwer zu bo	e) braun					
	f)		g)	h) TL	i)				
	a)								
	b)								
	c)		d)	e)					
	f)		g)	h)	i)				
	a)		l						
	b)								
	c)		d)	e)					
	f)		g)	h)	i)				
1) Eint	ragu	ng nimmt der wissensch	l naftliche Bearbeiter vor	1		I		<u> </u>	l

1) Eintragung nimmt der wissenschaftliche Bearbeiter vor

### Schichtenverzeichnis

Bericht: SB24043

für Bohrungen ohne durchgehende Gewinnung von gekernten Proben

Anlage: 3

PV - Freiflächenanlage - 54608 Mützenich Vorhaben: Datum: **Bohrung** RB3 / Blatt: 1 Höhe: 511,41 m üNN 10.-11.06.2024 2 1 3 Entnommene a) Benennung der Bodenart Proben und Beimengungen Bemerkungen Bis Sonderprobe b) Ergänzende Bemerkung 1) Wasserführung Tiefe ... m d) Beschaffenheit Beschaffenheit unter Bohrwerkzeuge in m e) Farbe Art Nr nach Bohrgut nach Bohrvorgang Ansatz-Kernverlust (Unterh) 1) punkt i) Kalk-Sonstiges kante) Geologische Benennung 1) f) Übliche g) Benennung Gruppe gehalt **DN 80** kΡ 0.20 a) Schluff, humos, tonig, sandig, kiesig, Wurzeln, Gras b) 0.20 d) leicht zu bohren c) weich e) dunkelbraun i) h) Oberboden OU **DN 80** Ρ1 0.70 a) Schluff, tonig, sandig, kiesig b) 0.70 d) mäßig schwer zu e) braun c) steif bohren f) g) h) i)  $\mathsf{TL}$ P2 DN 80 - DN 60 1.20 a) Schluff, tonig, sandig, kiesig b) 1.20 e) braun c) halbfest - fest d) schwer zu bohren sehr schwer zu bo f) h) i) g)  $\mathsf{TL}$ a) b) c) d) e) f) h) i) g) a) b) d) c) e) f) h) i)

## Schichtenverzeichnis

Bericht: SB24043

für Bohrungen ohne durchgehende Gewinnung von gekernten Proben

Vorhab	en:	PV - Freiflächenanlag	e - 54608 Mützenich						
Dobr		a DD 4 (b)				504.50 "NIN	Datu	ım:	
Bohr	un	g RB4 / ві:	att: 1		Höhe:	501,53 m üNN	10	11.06.2	2024
1			2			3	4	5	6
Bis	a)	Benennung der Boden und Beimengungen	art			Bemerkungen	E	Entnom Prob	
m		Ergänzende Bemerkun	Γ	1		Sonderprobe Wasserführung			Tiefe
unter Ansatz- punkt	c)	Beschaffenheit nach Bohrgut	d) Beschaffenheit nach Bohrvorgang	e) Farbe	i) Kalk-	Bohrwerkzeuge Kernverlust Sonstiges	Art	Nr	in m (Unter-
puliki	f)	Übliche Benennung	g) Geologische Benennung <sup>1)</sup>	Gruppe	gehalt	Sonstiges			kante)
		Schluff, humos, tonig,	sandig, kiesig, Wurzeln, Gı	ras		DN 80		kP	0.20
0.20	b)								
	c)	weich	d) leicht zu bohren	e) dunkel	braun				
	f)	Oberboden	g)	h) OU	i)				
	a)	Schluff, tonig, sandig, k	kiesig			DN 80 - DN 60		P1	0.40
0.40	b)								
	c)	steif	d) mäßig schwer zu bohren	e) braun					
	f)		g)	h) TL	i)				
	a)	Schluff, tonig, sandig, k	kiesig			DN 80 - DN 60		P2	1.70
1.70	b)								
	c)	halbfest - fest	d) schwer zu bohren sehr schwer zu bo	e) braun					
	f)		g)	h) TL	i)				
	a)								
	b)								
	c)		d)	e)					
	f)		g)	h)	i)				
	a)								
	b)								
	c)		d)	e)					
	f)		g)	h)	i)				
1) Eint	ragu	na nimmt der wissensch	aftliche Bearbeiter vor			•			

## Schichtenverzeichnis

Bericht: SB24043

für Bohrungen ohne durchgehende Gewinnung von gekernten Proben

Vorhab	en:	PV - Freiflächenanlag	e - 54608 Mützenich						
D - l- :		DD C					Datu	ım:	
Bohr	un	g RB5 / вы	att: 1		Höhe:	494,77 m üNN	10	11.06.2	2024
1			2			3	4	5	6
Bis	a)	Benennung der Bodena und Beimengungen	art			Bemerkungen	E	Entnom Prob	nmene oen
	b)	Ergänzende Bemerkun	g <sup>1)</sup>			Sonderprobe Wasserführung			Tiefe
m unter Ansatz-	c)	Beschaffenheit nach Bohrgut	d) Beschaffenheit nach Bohrvorgang	e) Farbe		Bohrwerkzeuge Kernverlust	Art	Nr	in m (Unter-
punkt	f)	Übliche Benennung	g) Geologische Benennung <sup>1)</sup>	h) <sup>1)</sup> Gruppe	i) Kalk- gehalt	Sonstiges			kante)
	a)	Schluff, humos, tonig, s	sandig, kiesig, Wurzeln, Gr	as		DN 80		kP	0.20
0.00	b)								
0.20	c)	weich	d) leicht zu bohren	e) dunkel	braun				
	f)	Oberboden	g)	h) OU	i)				
	a)	Schluff, tonig, sandig, k	kiesig			DN 80		P1	0.60
	b)								
0.60									
		steif	d) mäßig schwer zu bohren	e) braun					
	f)		g)	h) TL	i)				
	a)	Schluff, tonig, sandig, k	kiesig			DN 80 - DN 60		P2	1.60
1.60	b)								
	c)	halbfest - fest	d) schwer zu bohren sehr schwer zu bo	e) braun					
	f)		g)	h) TL	i)				
	a)								
	b)								
	c)		d)	e)					
	f)		g)	h)	i)				
	a)								
	b)								
	c)		d)	e)					
	f)		g)	h)	i)				
1) Eint	raqu	ing nimmt der wissensch	naftliche Bearbeiter vor	ı	1	1		·	<u>I</u>

## Schichtenverzeichnis

Bericht: SB24043

für Bohrungen ohne durchgehende Gewinnung von gekernten Proben

Vorhab	en:	PV - Freiflächenanlag	e - 54608 Mützenich						
Dobr	מנוי	g RB6 / вы			1181.	400 00 m #NN	Datu	ım:	
Bohr	un	y KDO /Bia	att: 1		Höhe:	496,02 m üNN	10	11.06.2	2024
1			2			3	4	5	6
Bis	a)	Benennung der Boden und Beimengungen	art			Bemerkungen	E	Entnom Prot	
m	b)	Ergänzende Bemerkun	g <sup>1)</sup>			Sonderprobe Wasserführung			Tiefe
unter Ansatz-	c)	Beschaffenheit nach Bohrgut	d) Beschaffenheit nach Bohrvorgang	e) Farbe		Bohrwerkzeuge Kernverlust	Art	Nr	in m (Unter-
punkt	f)	Übliche Benennung	g) Geologische Benennung 1)	h) <sup>1)</sup> Gruppe	i) Kalk- gehalt	Sonstiges			kante)
	a)	Schluff, humos, tonig, s	sandig, kiesig, Wurzeln, Gı	ras		DN 80		kP	0.20
0.20	b)								
5.25	c)	weich	d) leicht zu bohren	e) dunkel	braun				
	f)	Oberboden	g)	h) OU	i)				
	a)	Schluff, tonig, sandig, k	kiesig			DN 80		P1	0.50
0.50	b)								
0.50	c)	steif	d) mäßig schwer zu bohren	e) braun					
	f)		g)	h) TL	i)				
	a)	Schluff, tonig, sandig, k	kiesig			DN 80 - DN 60		P2	1.30
1.30	b)								
	c)	halbfest - fest	d) schwer zu bohren sehr schwer zu bo	e) braun					
	f)		g)	h) TL	i)				
	a)								
	b)								
	c)		d)	e)					
	f)		g)	h)	i)				
	a)								
	b)								
	c)		d)	e)					
	f)		g)	h)	i)				
1) Eint	ragu	ng nimmt der wissensch	naftliche Bearbeiter vor						

1) Eintragung nimmt der wissenschaftliche Bearbeiter vor

### Schichtenverzeichnis

Bericht: SB24043

für Bohrungen ohne durchgehende Gewinnung von gekernten Proben

Anlage: 3

PV - Freiflächenanlage - 54608 Mützenich Vorhaben: Datum: RB 7 **Bohrung** / Blatt: 1 Höhe: 474,45 m üNN 10.-11.06.2024 2 1 3 Entnommene a) Benennung der Bodenart Proben und Beimengungen Bemerkungen Bis Sonderprobe b) Ergänzende Bemerkung 1) Wasserführung Tiefe ... m d) Beschaffenheit Beschaffenheit unter Bohrwerkzeuge in m e) Farbe Art Nr nach Bohrgut nach Bohrvorgang Ansatz-Kernverlust (Unterh) 1) punkt i) Kalk-Sonstiges kante) Geologische Benennung 1) f) Übliche g) Benennung Gruppe gehalt **DN 80** kΡ 0.20 a) Schluff, humos, tonig, sandig, kiesig, Wurzeln, Gras b) 0.20 d) leicht zu bohren c) weich e) dunkelbraun i) h) Oberboden OU **DN 80** Ρ1 0.70 a) Schluff, tonig, sandig, kiesig b) 0.70 d) mäßig schwer zu c) steif e) braungrau bohren f) i) g) h)  $\mathsf{TL}$ P2 DN 80 - DN 60 2.00 a) Schluff, tonig, sandig, kiesig b) 2.00 e) braun c) halbfest d) schwer zu bohren sehr schwer zu bo f) h) i) g)  $\mathsf{TL}$ a) b) c) d) e) f) h) i) g) a) b) d) c) e) f) h) i) g)

## Schichtenverzeichnis

Bericht: SB24043

für Bohrungen ohne durchgehende Gewinnung von gekernten Proben

Vorhab	en:	PV - Freiflächenanlag	e - 54608 Mützenich						
Dala		DD 0					Datu	ım:	
Bohr	un	g RB8 / Віа	att: 1		Höhe:	486,83 m üNN	10	11.06.2	2024
1			2			3	4	5	6
Bis	a)	Benennung der Boden und Beimengungen	art			Bemerkungen	E	Entnom Prot	
	b)	Ergänzende Bemerkun	g <sup>1)</sup>			Sonderprobe			T: 6
m unter Ansatz-	c)	Beschaffenheit nach Bohrgut	d) Beschaffenheit nach Bohrvorgang	e) Farbe		Wasserführung Bohrwerkzeuge Kernverlust	Art	Nr	Tiefe in m (Unter-
punkt	f)	Übliche Benennung	g) Geologische Benennung <sup>1)</sup>	h) <sup>1)</sup> Gruppe	i) Kalk- gehalt	Sonstiges			kante)
	a)	Schluff, humos, tonig, s	sandig, kiesig, Wurzeln, Gr	as		DN 80		kP	0.20
	b)								
0.20	c)	weich	d) leicht zu bohren	e) dunkel	braun				
	f)	Oberboden	g)	h)	i)				
	a)	Schluff, tonig, sandig, k	vionia	OU		DN 80 - DN 60		P1	1.60
	a)	Schlair, tonig, sandig, r	kiesig			DIV 00 - DIV 00		' '	1.00
	b)								
1.60	c)	steif	d) schwer zu bohren	e) braun					
		0.0							
	f)		g)	h) TL-GU*	i)				
	a)								
	b)								
	c)		d)	e)					
	f)		g)	h)	i)				
	a)								
	b)								
	c)		d)	e)					
	f)		g)	h)	i)				
	a)			I					
	b)								
	c)		d)	e)					
	f)		g)	h)	i)				
1) Eint	raqu	ng nimmt der wissensch	naftliche Bearbeiter vor						

## Schichtenverzeichnis

Bericht: SB24043

für Bohrungen ohne durchgehende Gewinnung von gekernten Proben

Vorhab	en:	PV - Freiflächenanlag	e - 54608 Mützenich						
Dobr	u no	a DDO (D)			1101	405.00 "1111	Datu	ım:	
Bohr	un	g RB9 / ві:	att: 1		Höhe:	485,00 m üNN	10	11.06.2	2024
1			2			3	4	5	6
Bis	a)	Benennung der Boden und Beimengungen	art			Bemerkungen	E	Entnom Prob	
m	b)	Ergänzende Bemerkun	ng <sup>1)</sup>			Sonderprobe Wasserführung			Tiefe
unter Ansatz-	c)	Beschaffenheit nach Bohrgut	d) Beschaffenheit nach Bohrvorgang	e) Farbe		Bohrwerkzeuge Kernverlust	Art	Nr	in m (Unter-
punkt	f)	Übliche Benennung	g) Geologische Benennung <sup>1)</sup>	h) <sup>1)</sup> Gruppe	i) Kalk- gehalt	Sonstiges			kante)
	a)	Schluff, humos, tonig,	sandig, kiesig, Wurzeln, G	ras		DN 80		kP	0.20
0.00	b)								
0.20	c)	weich	d) leicht zu bohren	e) dunke	lbraun				
	f)	Oberboden	g)	h) OU	i)				
	a)	Schluff, tonig, sandig, k	kiesig			DN 80		P1	0.60
	b)								
0.60	c)	steif	d) mäßig schwer zu bohren	e) braun		-			
	f)		g)	h) TL	i)				
	a)	Schluff, tonig, sandig, k	kiesig	15		DN 80 - DN 60		P2	1.40
	b)								
1.40			L	1 .					
	c)	halbfest - fest	d) schwer zu bohren sehr schwer zu bo	e) braun					
	f)		g)	h) TL	i)				
	a)								
	b)								
	c)		d)	e)					
	f)		g)	h)	i)				
	a)		I	1	1				
	b)								
	c)		d)	e)					
	f)		g)	h)	i)				
1) Eint	ragu	ng nimmt der wissensch	l naftliche Bearbeiter vor						

## Schichtenverzeichnis

Bericht: SB24043

für Bohrungen ohne durchgehende Gewinnung von gekernten Proben

Vorhab	en:	PV - Freiflächenanlag	e - 54608 Mützenich						
Dobr	un	a DD 10 //	21.44.4		1191	400.00	Datu	ım:	
Bohr	un	g RB 10 / E	3latt: 1		Höhe:	489,36 m üNN	10	11.06.2	2024
1			2			3	4	5	6
Bis	a)	Benennung der Boden und Beimengungen	art			Bemerkungen	E	Entnom Prob	
m	b)	Ergänzende Bemerkun	g <sup>1)</sup>			Sonderprobe Wasserführung			Tiefe
unter Ansatz-	c)	Beschaffenheit nach Bohrgut	d) Beschaffenheit nach Bohrvorgang	e) Farbe		Bohrwerkzeuge Kernverlust	Art	Nr	in m (Unter-
punkt	f)	Übliche Benennung	g) Geologische Benennung <sup>1)</sup>	h) <sup>1)</sup> Gruppe	i) Kalk- gehalt	Sonstiges			kante)
	a)	Schluff, humos, tonig, s	sandig, kiesig, Wurzeln, Gı	ras		DN 80		kP	0.20
0.20	b)								
5.25	c)	weich	d) leicht zu bohren	e) dunkel	braun				
	f)	Oberboden	g)	h) OU	i)				
	a)	Schluff, tonig, sandig, k	kiesig			DN 80		P1	0.60
0.60	b)								
	c)	steif	d) mäßig schwer zu bohren	e) braun					
	f)		g)	h) TL	i)				
	a)	Schluff, tonig, sandig, k	kiesig			DN 80 - DN 60		P2	1.40
1.40	b)								
	c)	halbfest - fest	d) schwer zu bohren sehr schwer zu bo	e) braun					
	f)		g)	h) TL	i)				
	a)								
	b)								
	c)		d)	e)					
	f)		g)	h)	i)				
	a)								
	b)								
	c)		d)	e)					
	f)		g)	h)	i)				
1) Eint	ragu	ng nimmt der wissensch	naftliche Bearbeiter vor						

## Schichtenverzeichnis

Bericht: SB24043

für Bohrungen ohne durchgehende Gewinnung von gekernten Proben

Vorhab	en:	PV - Freiflächenanlag	e - 54608 Mützenich						
Dahı		- DD 44					Datu	ım:	
Bohr	un	g RB 11 / E	Blatt: 1		Höhe:	479,95 m üNN	10	11.06.2	2024
1			2			3	4	5	6
Bis	a)	Benennung der Bodena und Beimengungen	art			Bemerkungen	E	Entnom Prob	nmene oen
	b)	Ergänzende Bemerkun	g <sup>1)</sup>			Sonderprobe			Tiefe
m unter Ansatz-	c)	Beschaffenheit nach Bohrgut	d) Beschaffenheit nach Bohrvorgang	e) Farbe		Wasserführung Bohrwerkzeuge Kernverlust	Art	Nr	Tiefe in m (Unter-
punkt	f)	Übliche Benennung	g) Geologische Benennung <sup>1)</sup>	h) <sup>1)</sup> Gruppe	i) Kalk- gehalt	Sonstiges			kante)
	a)	Schluff, humos, tonig, s	sandig, kiesig, Wurzeln, Gr	as		DN 80		kP	0.20
	b)								
0.20	c)	weich	d) leicht zu bohren	e) dunkel	braun				
	f)	Oberboden	g)	h) OU	i)				
	a)	Schluff, tonig, sandig, k	kiesig	00		DN 80		P1	0.80
			<u> </u>						
0.80	b)								
0.80	c)	steif	d) mäßig schwer zu bohren	e) braung	Jrau				
	f)		g)	h) TL-GU*	i)				
	a)	Schluff, tonig, sandig, k	kiesig	I	I	DN 80 - DN 60		P2	1.50
	b)								
1.50									
	c)	halbfest	d) schwer zu bohren sehr schwer zu bo	e) braun					
	f)		g)	h) TL-GU*	i)				
	a)								
	b)								
	c)		d)	e)					
	f)		g)	h)	i)				
	a)			•					
	b)								
	c)		d)	e)					
	f)		g)	h)	i)				
1) Eint	ragu	ng nimmt der wissensch	naftliche Bearbeiter vor	ı	l	I	1	1	I

## Schichtenverzeichnis

Bericht: SB24043

für Bohrungen ohne durchgehende Gewinnung von gekernten Proben

Vorhab	en:	PV - Freiflächenanlag	e - 54608 Mützenich						
Dobr	un	a DD 10 //	21.44.4			504.54 "NN	Datu	ım:	
Bohr	un	g RB 12 / i	Blatt: 1		Höhe:	504,51 m üNN	10	11.06.2	2024
1			2			3	4	5	6
Bis	a)	Benennung der Boden und Beimengungen	art			Bemerkungen	E	Entnom Prob	
	b)	Ergänzende Bemerkun	ng <sup>1)</sup>			Sonderprobe			T: . f .
m unter Ansatz-	c)	Beschaffenheit nach Bohrgut	d) Beschaffenheit nach Bohrvorgang	e) Farbe		Wasserführung Bohrwerkzeuge Kernverlust	Art	Nr	Tiefe in m (Unter-
punkt	f)	Übliche Benennung	g) Geologische Benennung <sup>1)</sup>	h) <sup>1)</sup> Gruppe	i) Kalk- gehalt	Sonstiges			kante)
	a)	Schluff, humos, tonig,	sandig, kiesig, Wurzeln, Gr	ras		DN 80		kP	0.20
0.20	b)					_			
0.20	c)	weich	d) leicht zu bohren	e) dunkel	braun				
	f)	Oberboden	g)	h) OU	i)	-			
	a)	Schluff, tonig, sandig, k	kiesig			DN 80		P1	0.60
0.60	b)								
0.00	c)	steif	d) mäßig schwer zu bohren	e) braun					
	f)		g)	h) TL	i)				
	a)	Schluff, tonig, sandig, k	kiesig			DN 80 - DN 60		P2	1.70
1.70	b)					-			
	c)	steif - halbfest	d) schwer zu bohren	e) braun					
	f)		g)	h) TL	i)				
	a)								
	b)								
	c)		d)	e)					
	f)		g)	h)	i)				
	a)								
	b)								
	c)		d)	e)					
1) =:	f)		g)	h)	i)				
ı 1) Eint	ragu	ng nimmt der wissensch	naπliche Bearbeiter vor						

ICP - Ingenieurgesellschaft

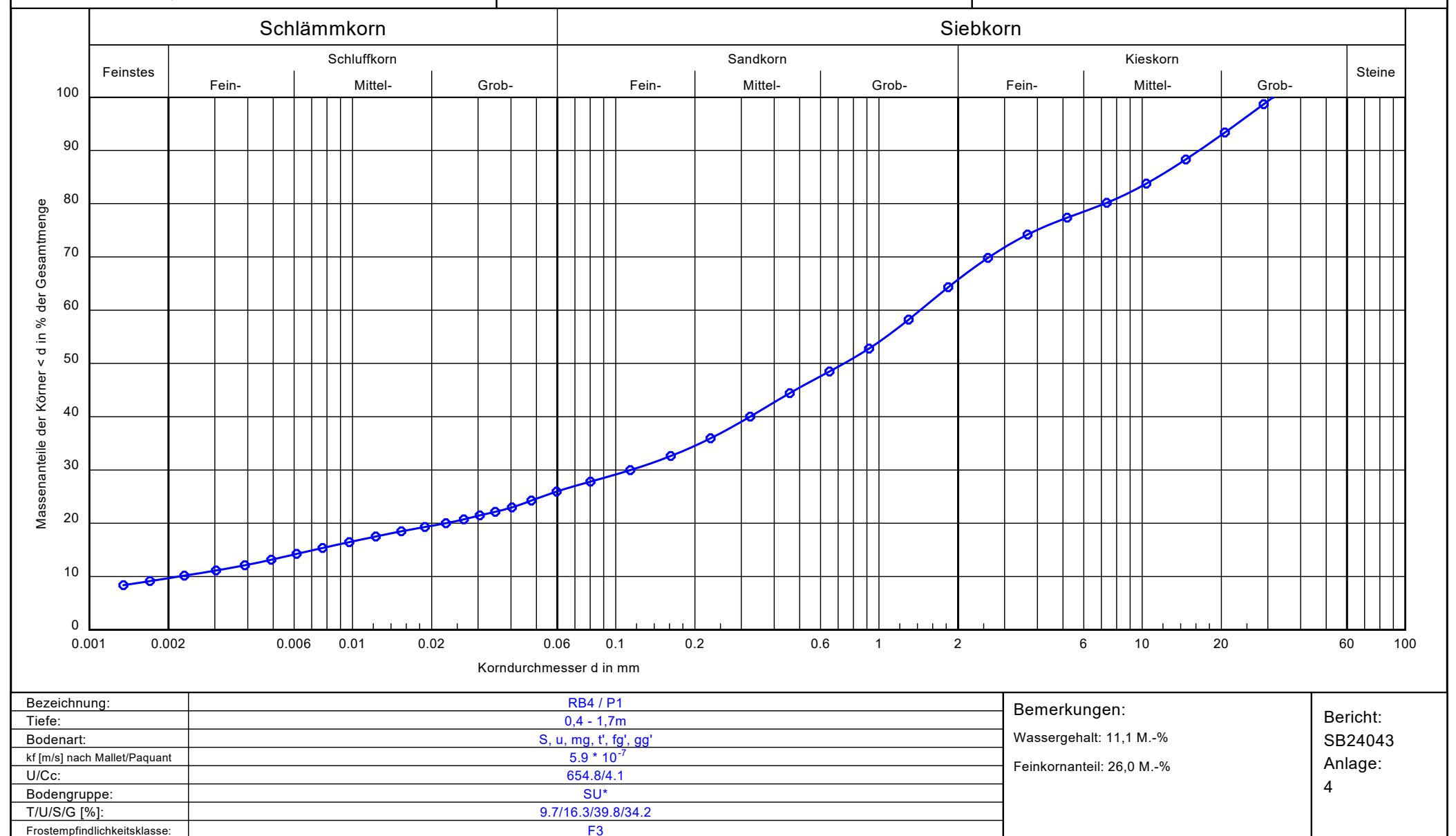
Prof. Czurda und Partner mbH Johannes-Kepler-Straße 7 54634 Bitburg

Bearbeiter: Unterberg Datum: 30.07.2024

Körnungslinie PV-Anlage 54608 Mützenich Prüfungsnummer: SB24043 RB4 / P1

Probe entnommen am: 11.06.2024 Art der Entnahme: gestört

Arbeitsweise: Sieb- Schlämmanalyse



ICP - Ingenieurgesellschaft

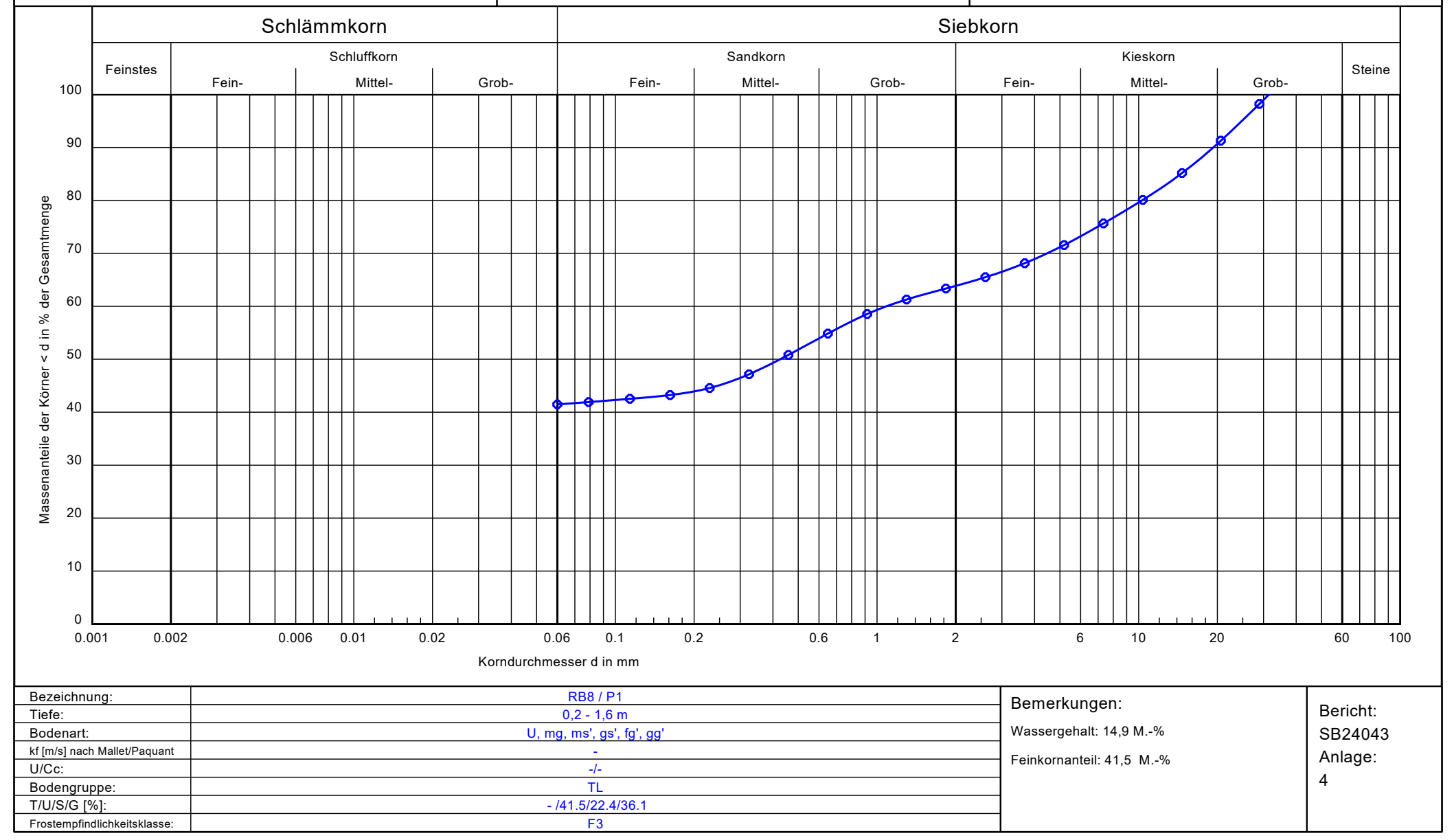
Prof. Czurda und Partner mbH Johannes-Kepler-Straße 7 54634 Bitburg

Bearbeiter: Unterberg Datum: 30.07.2024

Körnungslinie PV-Anlage 54608 Mützenich Prüfungsnummer: SB24043 RB8 / P1

Probe entnommen am: 11.06.2024

Art der Entnahme: gestört Arbeitsweise: Siebanalyse



ICP - Ingenieurgesellschaft

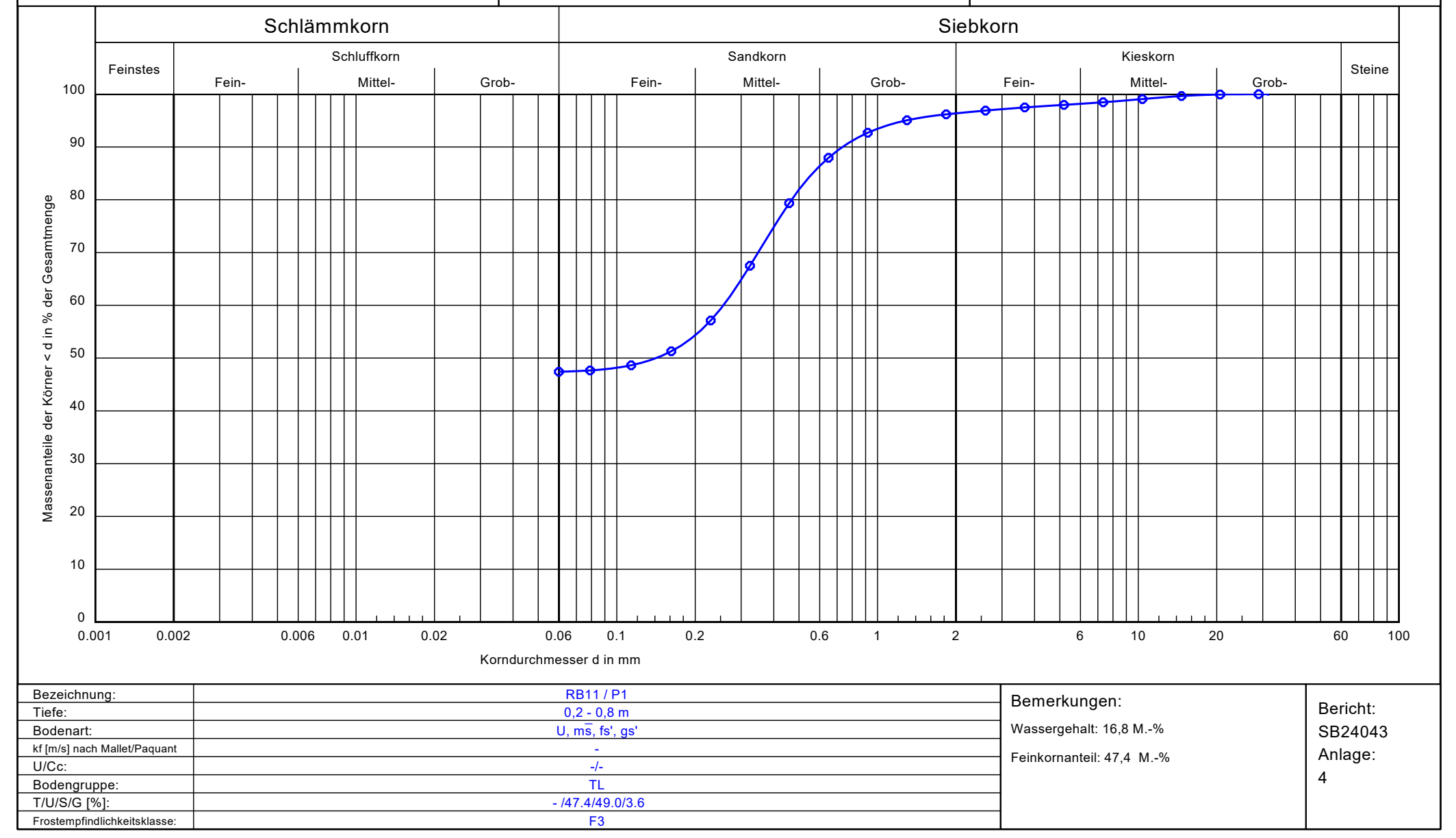
Prof. Czurda und Partner mbH Johannes-Kepler-Straße 7 54634 Bitburg

Bearbeiter: Unterberg Datum: 30.07.2024

Körnungslinie PV-Anlage 54608 Mützenich Prüfungsnummer: SB24043 RB11 / P1

Probe entnommen am: 11.06.2024

Art der Entnahme: gestört Arbeitsweise: Siebanalyse



ICP Ingenieurgesellschaft Prof. Czurda und Partner mbH

Johannes-Kepler-Straße 7 54634 Bitburg

Bericht: SB24043

Anlage: 5

### Zustandsgrenzen nach DIN EN ISO 17 892 - 12

### PV-Anlage

54608 Mützenich

Bearbeiter: Fabis Datum: 25.06.2024

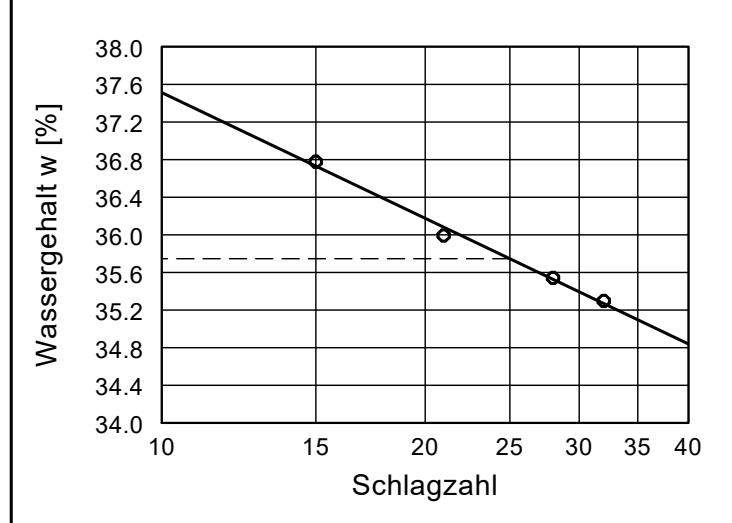
Prüfungsnummer: SB24043 Entnahmestelle: RB / P2

Tiefe: 0,6 - 1,6

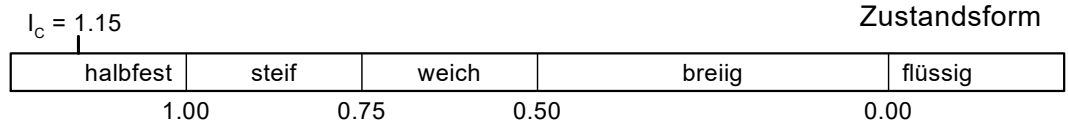
Art der Entnahme: gestört

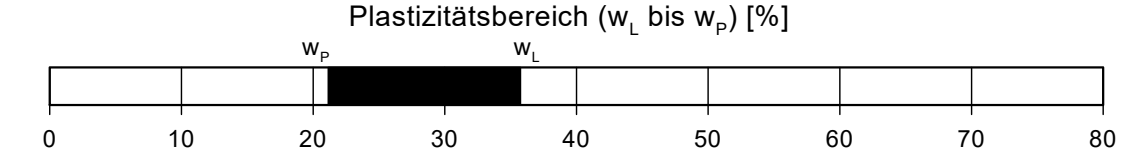
Bodenart: U, t, s, g

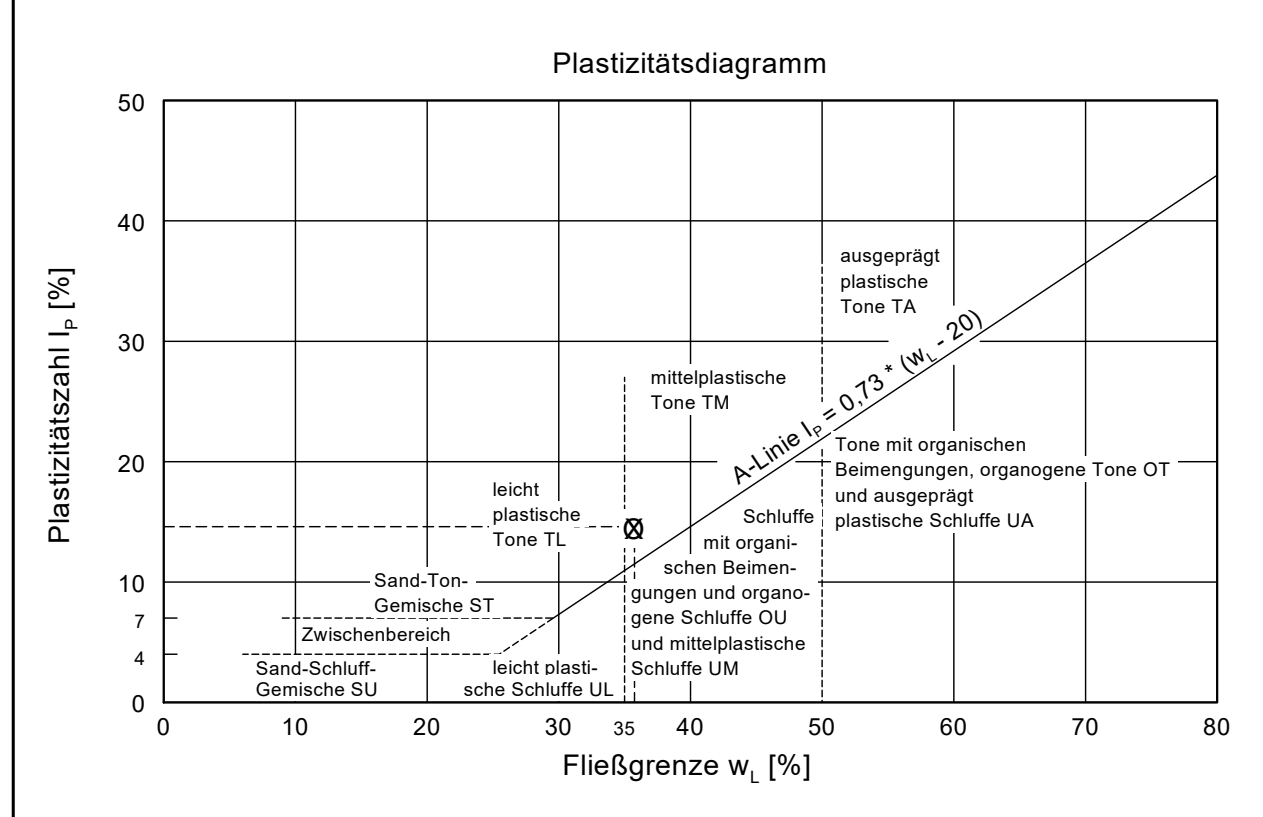
Probe entnommen am: 11.06.2024



Wassergehalt w = 12.8 % Fließgrenze w, = 35.7 % Ausrollgrenze w<sub>p</sub> = 21.2 % Plastizitätszahl I<sub>P</sub> = 14.5 % Konsistenzzahl I<sub>c</sub> = 1.15 Anteil Überkorn ü = 35.1 % Wassergeh. Überk. w<sub>ij</sub> = 1.5 % Korr. Wassergehalt = 18.9 %







ICP Ingenieurgesellschaft Prof. Czurda und Partner mbH

Johannes-Kepler-Straße 7

54634 Bitburg

Bericht: SB24043

Anlage: 5

### Zustandsgrenzen nach DIN EN ISO 17 892 - 12

### PV-Anlage

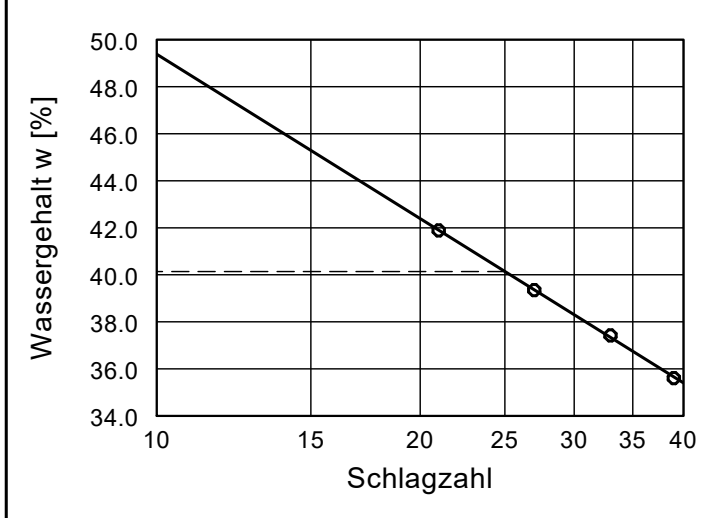
54608 Mützenich

Bearbeiter: Fabis Datum: 25.06.2024 Prüfungsnummer: SB24043 Entnahmestelle: RB5 / P2

Tiefe: 0,6 - 1,6

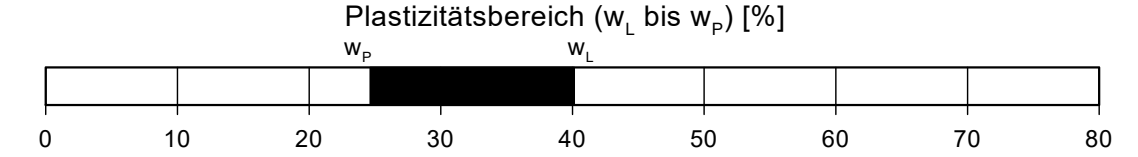
Art der Entnahme: gestört Bodenart: Ū, s, g', t'

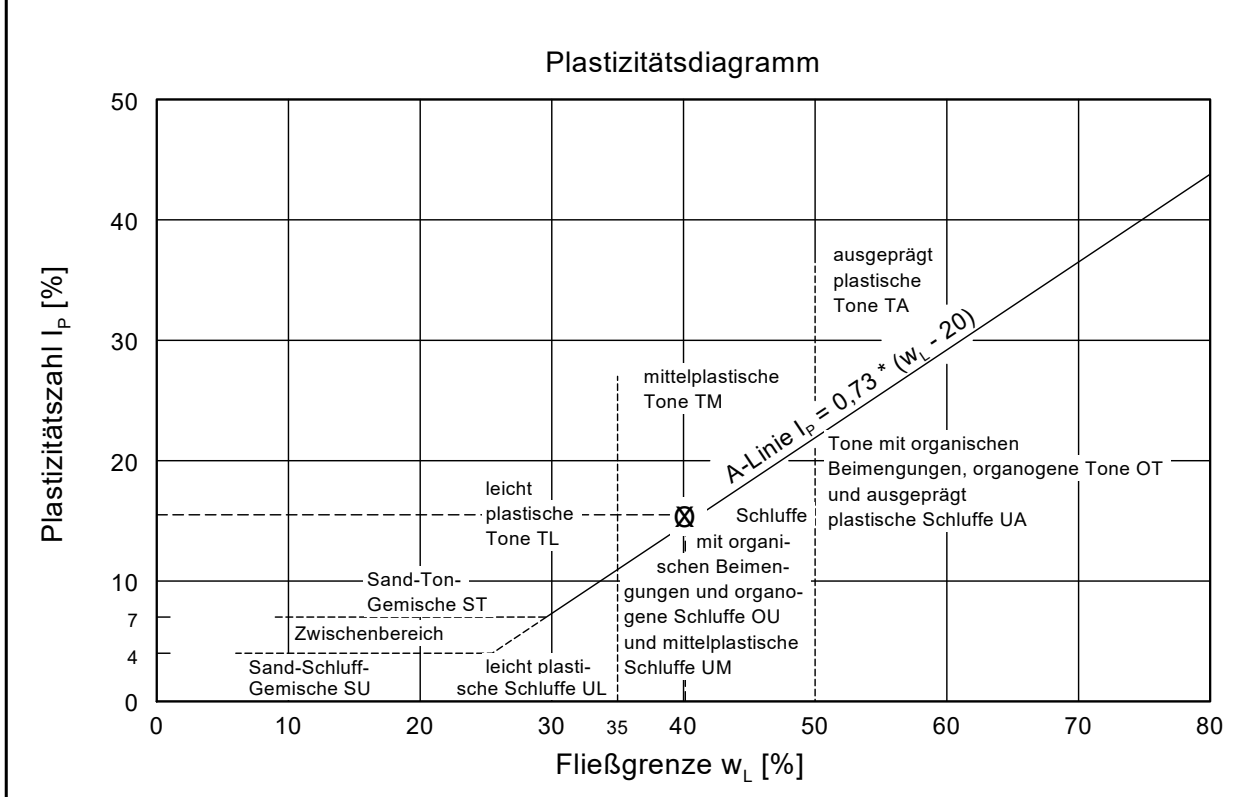
Probe entnommen am: 11.06.2024



Wassergehalt w = 15.5 % Fließgrenze w, = 40.1 % Ausrollgrenze w<sub>p</sub> = 24.6 % Plastizitätszahl I<sub>P</sub> = 15.5 % Konsistenzzahl I<sub>c</sub> = 1.05 Anteil Überkorn ü = 37.3 % Wassergeh. Überk. w<sub>ij</sub> = 1.5 % Korr. Wassergehalt = 23.8 %









# Messung des spezifischen Erdwiderstandes ρs

Nach technischer Information (Enercon) "PM-EW-DC094"

Projekt:	PVA OG Mützenich, Erdwiderstand 01	PVA OG Mützenich, Erdwiderstand 01				
Ausführende:	J.Knauf, P. Klankert	Geo Referenz	:	UTM (WGS84)	Gauß-Krüger	
Datum:	11.06.2024	RECHTS:	304081	HOCH:	5569878	
Bodenzustand:	erdfeucht	Wetterlage:	wechselhaft			
Temperatur:	10 °C	Ausrichtung:	O-W			
Messgerät:	Earth & Resistivity Tester C.A. 6460	Kalibriert bis:	2024			

a [m]	R [Ω]	$ρ_s = R \times 2\pi \times a [Ω \times m]$	Bemerkung
0,5	94,70	297,51	
1	41,90	263,27	
2	20,50	257,61	
3	13,20	248,81	
5	7,45	234,05	
8	2,51	126,17	
12	1,82	137,22	
16	1,37	137,73	
20	1,10	138,23	
25	0,98	153,94	
30	0,77	145,14	

Mit der Unterschrift bestätigt der Ausführende die Messung nach der Wenner-Methode durchgeführt zu haben.

Geowissenschaftler e.v.

Frank Neumann

(Dipl.-Geologe/Berat. Geowissenschaftler)

gez.

Josef Knauf

(BSc. UGW)



# Messung des spezifischen Erdwiderstandes ρs

Nach technischer Information (Enercon) "PM-EW-DC094"

Projekt:	PVA OG Mützenich, Erdwiderstand 02			Projekt-Nr.:	SB24043
Ausführende:	J.Knauf, P. Klankert	Geo Referenz	:	UTM (WGS84)	Gauß-Krüger
Datum:	11.06.2024	RECHTS:	304139	HOCH:	5570063
Bodenzustand:	erdfeucht	Wetterlage:	wechselhaft		
Temperatur:	10 °C	Ausrichtung:	O-W		
Messgerät:	Earth & Resistivity Tester C.A. 6460	Kalibriert bis:	2024		

a [m]	R [Ω]	$ρ_s = R \times 2\pi \times a [Ω \times m]$	Bemerkung
0,5	84,20	264,52	
1	41,90	263,27	
2	24,10	302,85	
3	17,35	327,04	
5	11,06	347,46	
8	5,45	273,95	
12	3,00	226,19	
16	1,93	194,02	
20	1,62	203,58	
25	1,42	223,05	
30	1,17	220,54	

Mit der Unterschrift bestätigt der Ausführende die Messung nach der Wenner-Methode durchgeführt zu haben.

Geowissenschaftler e.v.

Frank Neumann

(Dipl.-Geologe/Berat. Geowissenschaftler)

gez.

Josef Knauf (BSc. UGW)

### AGROLAB Labor GmbH



Dr.-Pauling-Str. 3, 84079 Bruckberg, Germany Fax: +49 (08765) 93996-28 www.agrolab.de

AGROLAB Labor GmbH, Dr-Pauling-Str.3, 84079 Bruckberg

ICP Ingenieurgesellschaft Prof. Czurda und Partner mbH ICP Bitburg, Eifel Am Tränkwald 27 67688 Rodenbach

> Datum 27.06.2024 Kundennr. 27068630

**GROUP** 

### **PRÜFBERICHT**

Auftrag 3565526 SB24043 - PV-Anlage, 54608 Mützenich

Analysennr. 524572 Bodenmaterial/Baggergut

Probeneingang 14.06.2024 Probenahme 11.06.2024 Probenehmer Auftraggeber Kunden-Probenbezeichnung MP1\_Stahl/Beton

> Einheit Ergebnis Best.-Gr. Methode

#### **Feststoff**

Analyse in der Gesamtfraktion				DIN 19747 : 2009-07
Neutralsalze	) mmol/kg	° 0,295		Berechnung
Trockensubstanz	%	° 81,5	0,1	DIN EN 14346 : 2007-03, Verfahren A
pH-Wert (H2O)	)	° 6,89	0,1	DIN EN 12176:1998-06(PL)
Bodenart	)	° schluffiger Lehm	0	VDLUFA I, D 2.1 : 1997(PL)
Basekapazität pH 7,0	) mmol/kg	<0,400	0,4	DIN 38409-7 : 2005-12(PL)
Säurekapazität pH 4,3	) mmol/kg	0,520	0,4	DIN 38409-7 : 2005-12(PL)
Sulfat aus salzsauren Auszug	mg/kg	° <100	100	DIN 4030-2 : 2008-06 in Verbindung mit DIN EN 1744-1 : 2013-03(PL)
Sulfat aus salzsauren Auszug	mmol/kg	° 1,04 <sup>xx2)</sup>	1	DIN 4030-2 : 2008-06 in Verbindung mit DIN EN 1744-1 : 2013-03
Kohlenstoff(C) organisch (TOC)	%	0,23	0,1	DIN EN 15936 : 2012-11
Aufschluss Chlorid				DIN 4030-2 : 2008-06
Chlorid (CI)	) mg/kg	64	10	DIN 4030-2 : 2008-06(PL)
Sulfat	mg/kg	<100	100	DIN 4030-2 : 2008-06 in Verbindung mit DIN EN 1744-1 : 2013-03(PL)
Sulfid, gesamt	mg/kg	2,9	0,1	DIN 4030-2 : 2008-06 in Verbindung mit DIN EN 1744-1 : 2013-03(PL)
Sulfid leicht freisetzbar	) mg/kg	<0,5	0,5	DIN 38405-27 : 1992-07 (mod.)
Säuregrad n. Baumann-Gully	) ml/kg	38	1	DIN 4030-2 : 2008-06

#### **Eluat**

berichteten Verfahren sind gemäß DIN EN ISO/IEC 17025:2018 akkreditiert. Ausschließlich nicht akkreditierte Verfahren sind mit dem

Eluatherstellung	u)	+		DIN 38414-4 (S 4) (mod.)(PL)
Chlorid (CI)	<sup>u)</sup> mg/l	0,48	0,1	DIN EN ISO 10304-1 : 2009-07(PL)
Sulfat (SO4)	<sup>u)</sup> mg/l	2,90	0,1	DIN EN ISO 10304-1 : 2009-07(PL)

xx2) Bei Einzelwerten unter der BG wurde die NWG zur Berechnung zugrunde gelegt.

Erläuterung: Das Zeichen "<" oder n.b. in der Spalte Ergebnis bedeutet, der betreffende Parameter ist bei nebenstehender Bestimmungsgrenze nicht quantifizierbar.

Die parameterspezifischen analytischen Messunsicherheiten sowie Informationen zum Berechnungsverfahren sind auf Anfrage verfügbar, sofern die berichteten Ergebnisse oberhalb der parameterspezifischen Bestimmungsgrenze liegen. Die Mindestleistungskriterien der angewandten Verfahren beruhen bezüglich der Messunsicherheit in der Regel auf der Richtlinie 2009/90/EG der Europäischen Kommission.

Die Analysenwerte der Feststoffparameter beziehen sich auf die Trockensubstanz, bei den mit ° gekennzeichneten Parametern auf die Originalsubstanz.

AG Landshut Geschäftsführer HRB 7131 Ust/VAT-Id-Nr.: DE 128 944 188 Dr. Carlo C. Peich Dr. Paul Wimmer Dr. Torsten Zurmühl



Dokument

### AGROLAB Labor GmbH

Dr.-Pauling-Str. 3, 84079 Bruckberg, Germany Fax: +49 (08765) 93996-28 www.agrolab.de



Datum 27.06.2024 Kundennr. 27068630

**PRÜFBERICHT** 

Auftrag **3565526** SB24043 - PV-Anlage, 54608 Mützenich Analysennr. **524572** Bodenmaterial/Baggergut

Kunden-Probenbezeichnung

u) externe Dienstleistung eines AGROLAB GROUP Labors

Untersuchung durch

(PL) AWV-Dr. Busse GmbH, Plauen (AGROLAB GROUP), Jößnitzer Str. 113, 08525 Plauen Methoden

DIN 4030-2: 2008-06

(PL) AWV-Dr. Busse GmbH, Plauen (AGROLAB GROUP), Jößnitzer Str. 113, 08525 Plauen, für die zitierte Methode akkreditiert nach DIN EN ISO/IEC 17025:2018, Akkreditierungsverfahren: D-PL-14087-01-00 DAkkS

MP1 Stahl/Beton

Methoden

DIN EN ISO 10304-1 : 2009-07; DIN EN 12176:1998-06; DIN 38409-7 : 2005-12; DIN 38414-4 (S 4) (mod.); DIN 4030-2 : 2008-06 in Verbindung mit DIN EN 1744-1 : 2013-03; VDLUFA I, D 2.1 : 1997

Normmodifikation

mit dem

sind

nicht

DIN 38405-27: 1992-07 (mod.): Anwendung auf feste Matrices

DIN 38414-4 (S 4) (mod.)(PL): geändertes Flüssigkeits-/Feststoffverhältnis (1:4)

Beginn der Prüfungen: 14.06.2024 Ende der Prüfungen: 27.06.2024

Die Ergebnisse beziehen sich ausschließlich auf die geprüften Gegenstände. In Fällen, wo das Prüflabor nicht für die Probenahme verantwortlich war, gelten die berichteten Ergebnisse für die Proben wie erhalten. Das Laboratorium ist nicht für die vom Kunden bereitgestellten Informationen verantwortlich. Die ggf. im vorliegenden Prüfbericht dargestellten Kundeninformationen unterliegen nicht der Akkreditierung des Laboratoriums und können sich auf die Validität der Prüfergebnisse auswirken. Die auszugsweise Vervielfältigung des Berichts ohne unsere schriftliche Genehmigung ist nicht zulässig. Die Ergebnisse in diesem Prüfbericht werden gemäß der mit Ihnen schriftlich gemäß Auftragsbestätigung getroffenen Vereinbarung in vereinfachter Weise i.S. der DIN EN ISO/IEC 17025:2018, Abs. 7.8.1.3 berichtet.

AGROLAB Labor GmbH, Christian Reutemann, Tel. 08765/93996-500 serviceteam2.bruckberg@agrolab.de Kundenbetreuung

Dieser elektronisch übermittelte Ergebnisbericht wurde geprüft und freigegeben. Er entspricht den Anforderungen der EN ISO/IEC 17025:2017 an vereinfachte Ergebnisberichte und ist ohne Unterschrift gültig.



67688 Rodenbach / 54634 Bitburg Tel. 06374 / 80507-0, Fax 80507-7



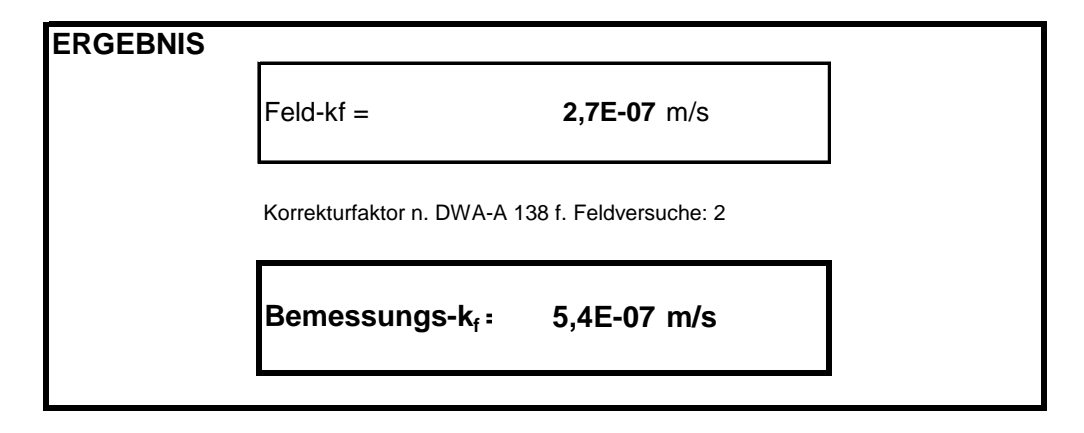
Projekt:	PV-Anlage, 54608 Mützenich			Datum:	22.10.2024
	l I			Berarbeiter:	HM
Projektnr.	SB24043-1	Versuch:	VV1/LH1	Lage:	s. Lageplan

Anlage 8

Allgemein	Bodenart				
Wasserstand über Sohle [m]	0,180	Bodenart n. DIN 4022	U;t	:,fs,s'	
Durchmesser des Prüfrohrs [mm]	300	Bodengruppe n. DIN 18196	-	TL	
Tiefenlage Sickersohle [ca. m ü NN]	471	Sickersohle uGOK [m]	0,2		

[sec]	Höhe u POK [m]	k [m/s]	1 Δh			93
0	0,0000		$k = C \cdot \frac{1}{h_m} \cdot \frac{\Delta h}{\Delta t}$	k	Durchlässigkeitskoeffizient	[r
60	0,0020			С	von Rohr-, Filterdurchmesser und Form des Ausflusses (kugelförmig, zylindrisch, u.s.w.)	
120	0,0020				abhängige Grösse (siehe Figuren 5a und 5b)	
180	0,0030			h <sub>m</sub>	mittlere Druckhöhe = $\frac{1}{2}$ (h <sub>1</sub> + h <sub>2</sub> )	
300	0,0030			$\frac{\Delta h}{\Delta t}$	Druckhöhendifferenz Zeit int ervall = Absenkgeschwindigkeit	[
600	0,0005			Δt	Zeit int ervall	
900	0,0060			C =	d / 28	
1200	0,0070					
1800	0,0080					

Auswertung			
Wasserstand zu Beginn der Messung	$h_1$	[m]	0,180
Wasserstand am Ende der Messung	h <sub>2</sub>	[m]	0,172
Formkonstante	С	[m]	0,010714286
gefallener Wasserspiegel	Δh	[m]	0,008
Versuchsdauer	Δt	[s]	1800
mittlerer Wasserstand	$h_{m}$	[m]	0,176
Durchlässigkeitskoeffizient	k	[m/s]	2,70563E-07



67688 Rodenbach / 54634 Bitburg Tel. 06374 / 80507-0, Fax 80507-7



Projekt:	PV-Anlage, 54608 Mützenich			Datum:	22.10.2024
	l I			Berarbeiter:	HM
Projektnr.	SB24043-1	Versuch:	VV2/LH2	Lage:	s. Lageplan

Anlage 8

Allgemein	Bodenart			
Wasserstand über Sohle [m]	0,188	Bodenart n. DIN 4022	U	;t,fs
Durchmesser des Prüfrohrs [mm]	300	Bodengruppe n. DIN 18196		TL
Tiefenlage Sickersohle [ca. m ü NN]	474,6	Sickersohle uGOK [m]	0,25	

Zeit [sec]	Höhe u POK [m]	k[m/s]	k = 0 1 Δh	L.	Durchlännigknitakonfiniant	[ma/a]
0	0,0000		$k = C \cdot \frac{1}{h_m} \cdot \frac{\Delta h}{\Delta t}$	k	Durchlässigkeitskoeffizient	[m/s]
60	0,0020			С	von Rohr-, Filterdurchmesser und Form des Ausflusses (kugelförmig, zylindrisch, u.s.w.)	
120	0,0020				abhängige Grösse (siehe Figuren 5a und 5b)	[m]
180	0,0030			h <sub>m</sub>	mittlere Druckhöhe = $\frac{1}{2}$ (h <sub>1</sub> + h <sub>2</sub> )	[m]
300	0,0030			$\frac{\Delta h}{\Delta t}$	Druckhöhendifferenz Zeit int ervall = Absenkgeschwindigkeit	[m/s]
600	0,0040			Δt	Zeit int ervall	[1180]
900	0,0050			C =	d / 28	
1200	0,0070					
1800	0,0100					
		·				

<u>Auswertung</u>			
Wasserstand zu Beginn der Messung	$h_1$	[m]	0,188
Wasserstand am Ende der Messung	h <sub>2</sub>	[m]	0,178
Formkonstante	С	[m]	0,010714286
gefallener Wasserspiegel	Δh	[m]	0,010
Versuchsdauer	Δt	[s]	1800
mittlerer Wasserstand	h <sub>m</sub>	[m]	0,183
Durchlässigkeitskoeffizient	k	[m/s]	3,25267E-07

ERGEBNIS			
	Feld-kf =	<b>3,3E-07</b> m/s	
	Korrekturfaktor n. DWA-A 138	3 f. Feldversuche: 2	
	Bemessungs-k <sub>f</sub> :	6,5E-07 m/s	

67688 Rodenbach / 54634 Bitburg Tel. 06374 / 80507-0, Fax 80507-7



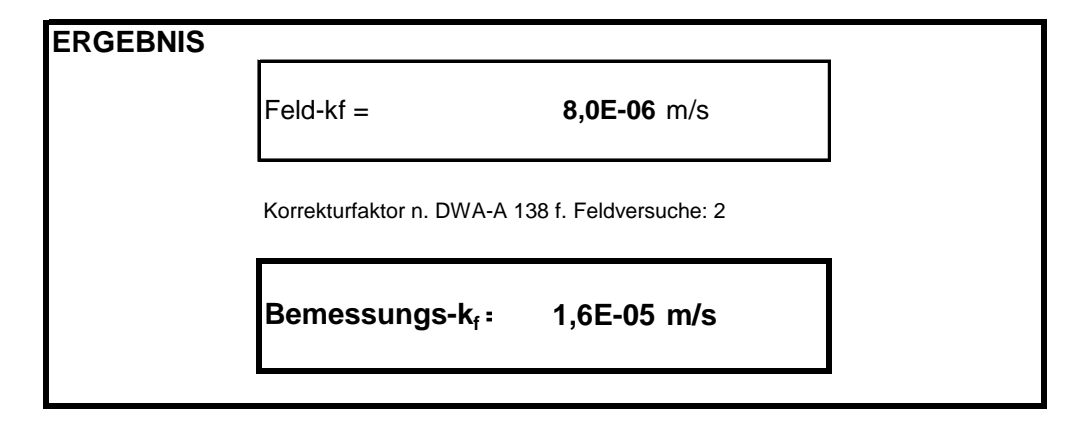
Projekt:	PV-Anlage, 54608 Mützenich			PV-Anlage, 54608 Mützenich Datum:		22.10.2024
				Berarbeiter:	HM	
Projektnr.	SB24043-1	Versuch:	VV3/LH3	Lage:	s. Lageplan	

Anlage 8

Allgemein	Bodenart			
Wasserstand über Sohle [m]	0,185	Bodenart n. DIN 4022	U	;t,fs
Durchmesser des Prüfrohrs [mm]	300	Bodengruppe n. DIN 18196		TL
Tiefenlage Sickersohle [ca. m ü NN]	474,1	Sickersohle uGOK [m]	0,2	

Zeit [sec]	Höhe u POK [m]	k[m/s]	k = 0 1 Δh	L.	Durahlänniskaitakaaffiniant	[ma/a]
0	0,0000		$k = C \cdot \frac{1}{h_m} \cdot \frac{\Delta h}{\Delta t}$	k	Durchlässigkeitskoeffizient	[m/s]
60	0,0110			С	von Rohr-, Filterdurchmesser und Form des Ausflusses (kugelförmig, zylindrisch, u.s.w.)	
120	0,0230				abhängige Grösse (siehe Figuren 5a und 5b)	[m]
180	0,0280			$h_{\rm m}$	mittlere Druckhöhe = $\frac{1}{2}$ (h <sub>1</sub> + h <sub>2</sub> )	[m]
300	0,0490			$\frac{\Delta h}{\Delta t}$	Druckhöhendifferenz Zeit int ervall = Absenkgeschwindigkeit	[m/s]
600	0,0820			Δt	Zeit int ervall	[1180]
900	0,1140			C =	d / 28	
1200	0,1490					
1800						
		·				

<u>Auswertung</u>			
Wasserstand zu Beginn der Messung	$h_1$	[m]	0,185
Wasserstand am Ende der Messung	h <sub>2</sub>	[m]	0,036
Formkonstante	С	[m]	0,010714286
gefallener Wasserspiegel	Δh	[m]	0,149
Versuchsdauer	Δt	[s]	1800
mittlerer Wasserstand	$h_{m}$	[m]	0,1105
Durchlässigkeitskoeffizient	k	[m/s]	8,02629E-06



67688 Rodenbach / 54634 Bitburg Tel. 06374 / 80507-0, Fax 80507-7



Projekt:	PV-Anlage, 54608 Mützenich			PV-Anlage, 54608 Mützenich Datum:		22.10.2024
				Berarbeiter:	HM	
Projektnr.	SB24043-1	Versuch:	VV4/LH4	Lage:	s. Lageplan	

Anlage 8

Allgemein	Bodenart			
Wasserstand über Sohle [m]	0,175	Bodenart n. DIN 4022	U;t	:,fs,s'
Durchmesser des Prüfrohrs [mm]	300	Bodengruppe n. DIN 18196	-	TL
Tiefenlage Sickersohle [ca. m ü NN]	474,6	Sickersohle uGOK [m]	0,21	

Zeit [sec]	Höhe u POK [m]	k[m/s]	k=0 1 Δh	L.	Durahlännigkeitekenffizient	[m/a]
0	0,0000		$k = C \cdot \frac{1}{h_m} \cdot \frac{\Delta h}{\Delta t}$	k	Durchlässigkeitskoeffizient	[m/s]
60	0,0010			С	von Rohr-, Filterdurchmesser und Form des Ausflusses (kugelförmig, zylindrisch, u.s.w.)	
120	0,0010				abhängige Grösse (siehe Figuren 5a und 5b)	[m]
180	0,0020			$h_{m}$	mittlere Druckhöhe = $\frac{1}{2}$ (h <sub>1</sub> + h <sub>2</sub> )	[m]
300	0,0020			$\frac{\Delta h}{\Delta t}$	Druckhöhendifferenz Zeit int ervall = Absenkgeschwindigkeit	[m/s]
600	0,0030			Δt	Zeit int ervall	[11110]
900	0,0030			C =	d / 28	
1200	0,0040					
1800	0,0050					

<u>Auswertung</u>			
Wasserstand zu Beginn der Messung	$h_1$	[m]	0,175
Wasserstand am Ende der Messung	h <sub>2</sub>	[m]	0,170
Formkonstante	С	[m]	0,010714286
gefallener Wasserspiegel	Δh	[m]	0,005
Versuchsdauer	Δt	[s]	1800
mittlerer Wasserstand	$h_{m}$	[m]	0,1725
Durchlässigkeitskoeffizient	k	[m/s]	1,72533E-07

